



Evaluation of Humic Acid on Chromium Toxicity, Accumulation and Translocation in Lettuce (*Lactuca sativa* L. var. *longifolia*)

A. Omidi¹, A.R. Astarai^{2*}, H. Emami³

Received: 09-08-2022

Revised: 04-09-2022

Accepted: 11-10-2022

Available Online: 11-10-2022

How to cite this article:

Omidi, A., Astarai, A.R., & Emami, H. (2023). Evaluation of humic acid on chromium toxicity, accumulation and translocation in lettuce (*Lactuca sativa* L. var. *longifolia*). *Journal of Horticultural Science*, 37(2), 541-560. (In Persian with English abstract). <https://doi.org/10.22067/JHS.2022.78131.1188>

Introduction

Chromium pollution of the soil due to natural processes or industrial activities such as metal refining, chrome plating, stainless-steel production, leather tanning, and chemical dye production is a global environmental issue. Excessive soil Cr levels cause detrimental effects on plant physiological processes including photosynthesis, water relations and mineral nutrition as well as the growth of roots, stems and leaves, which may decrease the biomass and yield of plants. Currently, soil application of organic amendments particularly humic acid seems to be an effective procedure to enhance relative plant tolerance to Cr stress. Humic acids are complexes of heterogeneous poly electrolytes with abundant functional groups that act as a weak poly electrolytic acid. Their structures, the degree to which these functional groups are protonated or ionized and environmental conditions influence the interaction between HA and soil pollutants. The complex compounds form by interaction of HA and heavy metals that cannot be uptaken by plants. Humic acid may play a significant role in the mobility and uptake of Cr which leads to a significant increase in plant biomass and growth. The aim of this research was to investigate the ability of humic acid to reduce Cr uptake and translocation by lettuce (*Lactuca sativa* L.) from Cr-contaminated soil.

Materials and Methods

The present study through a greenhouse pot experiment was conducted in the greenhouse of Ferdowsi university of Mashhad. The experiment was arranged in a factorial manner in a randomized complete design with three replications and treatments consisted of 3 levels of Cr (0, 25, and 50 mg kg⁻¹ as K₂Cr₂O₇) and 3 rates of HA (0, 5 and 10 %). The soil samples were dried at room temperature, ground and sieved with a 2-mm mesh screen for further analysis. The bioavailable concentrations of Cr in the soils were assessed by DTPA. Three lettuce seedlings were grown in each pot containing five air-dried soil and watered to a near field capacity with distilled water as needed. After 100 days plant tissues were harvested, carefully washed with deionized water and the leaf, stem and root parts separated. All of them were oven-dried at 65-75 °C to constant weight and the dry weight of lettuce tissue samples was recorded. To determine the Cr concentrations, the tissues were ground, passed through a 0.3-mm sieve and digested in di-acid mixture (HNO₃:HClO₄). Concentrations of Cr in the digested solutions and soil extractions were determined using an Inductively Coupled Plasma Optical Emission Spectrometry (ICP OES). Translocation factor (TF) is determined from the ratio of the concentration of Cr in the plant's shoots compared to that in the plant's roots. Bioaccumulation factor (BAF) was evaluated as defined as the accumulated concentration of Cr in plant divided by concentration to that in respective soil. A two-way analysis of variance was done by using a statistical package, JMP version 8.0. The differences between the treatments were determined using LSD multiple range tests at significance level of $P \leq 0.05$ and $P \leq 0.001$.

1, 2 and 3- Ph.D. Student, Associate Professor and Professor, Department of Soil Science, Faculty of Agriculture, Ferdowsi University of Mashhad, Mashhad, Iran, respectively.

(*- Corresponding Author Email: astaraei@um.ac.ir)

DOI: [10.22067/JHS.2022.78131.1188](https://doi.org/10.22067/JHS.2022.78131.1188)

Results and Discussion

The results of the present study clearly demonstrate that all Cr treatments significantly reduced leaf, stem, shoot and root dry weights. In unamended soils, both Cr treatments alone reduced leaf, shoot, stem and root dry weights 83%, 101%, 207% and 65% (for Cr 25 mg kg⁻¹) and 194%, 219%, 355% and 92% (for Cr 50 mg kg⁻¹) respectively as compared to control. Using HA (5 and 10%) and Cr treatments (25 and 50 mg kg⁻¹), showed that leaf, shoot, stem and root dry weights were significantly increased as compared to Cr contaminated control. The lowest values of these parameters were recorded in Cr treatments without addition of HA, whereas at each Cr level, the highest values of them were obtained with application of 10% HA. The Cr concentrations in shoot and root samples significantly were affected by adding HA and Cr levels in soil. It was observed that Cr contents in shoots and roots, transfer factor and bioaccumulation factor of shoots and roots significantly increased by increasing soil Cr levels. Moreover, HA application negatively affected Cr content in shoot compared to Cr treatment alone. The interaction of chromium and humic acid caused a significant decrease in the concentration of chromium in the aerial parts, the shoot accumulation factor and a significant increase in the concentration of chromium in the roots and consequently reduced translocation factor. The highest value of Cr in shoot (47.7 mg kg⁻¹) was obtained in those plants grown in soil with addition of 50 mg kg⁻¹ Cr alone, whereas at each Cr level the lowest value of Cr in shoot was found in those plants grown in soil with the application of 10% HA. HA application in soil increased Cr concentration in root compared with Cr contaminated control. The maximum Cr concentration in the root (367 mg kg⁻¹) and root bioaccumulation factor (28.5) was obtained after exposure to 50 mg kg⁻¹ Cr +10% HA treatment. Also, the regression models showed that the transfer factor and shoot bioaccumulation factor decreased significantly and linearly with increasing shoot dry weight. Moreover, the regression model of shoot dry weight and shoot bioaccumulation factor was able to predict translocation factor and shoot bioaccumulation factor with Adjusted R² = -0.78** and R² = -0.93**, respectively.

Conclusion

Results demonstrated that Cr toxicity markedly reduced plant growth parameters for instance leaf, stem, shoot and root dry weight and enhanced the concentration of Cr in shoot and root as compared to control. Humic acid application in Cr contaminated soil induced increased plant biomass, root bioaccumulation factor, Cr contents in roots and reduced Cr concentration in leaves, translocation factor and shoot bioaccumulation factor. Therefore, the application of HA specially at higher dose (10%) seems to be a cost-effective and environmentally friendly method for the restriction of Cr accumulation and its transfer from contaminated soil to edible parts of lettuce, thus helping to enhance food security.

Keywords: BAF, Heavy metals, Organic amendment, TF

مقاله پژوهشی

جلد ۳۷، شماره ۲، تابستان ۱۴۰۲، ص. ۵۶۰-۵۴۱

بررسی نقش اسید هیومیک بر سمیت کروم و چگونگی جذب و انتقال آن در گیاه کاهو (*Lactuca sativa* L. var. longifolia)

آزاده امیدی^۱ - علیرضا آستارایی^{۲*} - حجت امامی^۳

تاریخ دریافت: ۱۴۰۱/۰۵/۱۸

تاریخ بازنگری: ۱۴۰۱/۰۶/۱۳

تاریخ پذیرش: ۱۴۰۱/۰۷/۱۹

چکیده

اسید هیومیکها مجموعه‌ای از پلی‌الکترولیت‌های ناهمگن با گروه عاملی فراوان هستند که ممکن است به شکل قابل توجهی، نقش کلیدی در تحرک و جذب کروم موجود در خاک و در نهایت جذب توسط گیاه، ایفا کنند. پژوهش حاضر به صورت آزمایش گلخانه‌ای در گلخانه تحقیقاتی دانشگاه فردوسی مشهد (مهر - دی ۱۳۹۶) با هدف بررسی تأثیر اسید هیومیک در خاک آلوده به کروم بر وزن خشک ریشه، شاخساره، ساقه و برگ، همچنین غلظت کروم در شاخساره و ریشه، فاکتور انتقال، فاکتور انباشت شاخساره و ریشه گیاه کاهو رقم 'سیاهو'؛ به صورت فاکتوریل و در قالب طرح کاملاً تصادفی با دو فاکتور، ۱- سطح کروم (صفر، ۲۵ و ۵۰ میلی‌گرم بر کیلوگرم خاک) و ۲- اسید هیومیک (صفر، ۵ و ۱۰ درصد) در سه تکرار انجام شد. نتایج نشان داد که با افزایش سطوح کروم در خاک، وزن‌های خشک برگ، شاخساره، ساقه و ریشه به ترتیب ۸۳، ۱۰۱، ۲۰۷ و ۶۵ درصد برای سطح ۲۵ میلی‌گرم کروم بر کیلوگرم و ۱۹۴، ۲۱۹، ۳۵۵ و ۹۲ درصد برای سطح ۵۰ میلی‌گرم کروم بر کیلوگرم کاهش معنی‌دار داشتند. افزایش اسید هیومیک موجب افزایش وزن خشک اجزاء مختلف گیاه، تحت تنش کروم شد. افزودن کروم به خاک، غلظت کروم در شاخساره و ریشه، فاکتور انتقال، فاکتور انباشت زیستی شاخساره و ریشه را به طور معنی‌داری افزایش داد. با کاربرد سطح صفر اسید هیومیک + ۵۰ میلی‌گرم کروم بر کیلوگرم، غلظت کروم در شاخساره از ۰/۰۱۶ (شاهد) به ۳۷/۷ و در ریشه از ۰/۰۵۱ (شاهد) به ۳۳۰ میلی‌گرم در کیلوگرم وزن خشک و فاکتور انتقال از ۰/۰۳۲ به ۰/۱۱۸ افزایش یافت. برهمکنش کروم و اسید هیومیک موجب کاهش معنی‌دار غلظت کروم در اندام هوایی، فاکتور انباشت شاخساره و افزایش غلظت کروم در ریشه و به تبع آن، کاهش فاکتور انتقال گردید؛ به طوری که بیشینه غلظت کروم در شاخساره در تیمار ۵۰ میلی‌گرم کروم بر کیلوگرم و در نبود اسید هیومیک، (۴۷/۷ میلی‌گرم در کیلوگرم) مشاهده شد؛ در حالی که کمترین مقدار کروم در هر تیمار کروم، با ۱۰ درصد اسید هیومیک مشاهده شد. بیشینه غلظت کروم در ریشه (۳۶۷ میلی‌گرم بر کیلوگرم وزن خشک) و فاکتور انباشت ریشه (۲۸/۵) در تیمار ۵۰ میلی‌گرم کروم + ۱۰ درصد اسید هیومیک مشاهده شد. کوچک بودن فاکتور انتقال کروم نشان می‌دهد در کاهو تنها بخش اندکی از کروم از ریشه به اندام هوایی منتقل شده است و با افزودن اسید هیومیک نیز، انتقال کروم از ریشه به اندام هوایی کاهش می‌یابد. همچنین مدل رگرسیونی نشان داد که با افزایش وزن خشک شاخساره فاکتور انتقال به طور خطی و معنی‌دار با $R^2 = -0.79$ ، کاهش یافت. مدل رگرسیونی برازش شده وزن خشک شاخساره با فاکتور انباشت شاخساره، توانست این فاکتور را برای کروم با $Adjusted R^2 = -0.93$ پیش‌بینی کند. بنابراین بیشترین سطح اسید هیومیک (۱۰ درصد) بکار رفته، بیشترین تأثیر گذاری را بر پارامترهای اندازه‌گیری شده داشته و این اصلاح‌کننده احتمالاً به خاطر ماهیت کمپلکس‌کنندگی و احیاکنندگی با افزایش انباشت کروم در ریشه، کاهش انتقال کروم از ریشه به اندام هوایی و در نتیجه کاهش انباشت این عنصر در شاخساره موجب افزایش زیست توده هوایی و ریشه کاهو شده و توانست تا حدودی اثرات سمی کروم را تعدیل کند.

واژه‌های کلیدی: اصلاح‌کننده آلی، عناصر سنگین، فاکتور انباشت زیستی، فاکتور انتقال

۱، ۲ و ۳- به ترتیب دانشجوی دکتری، دانشیار و استاد گروه علوم و مهندسی خاک، دانشکده کشاورزی، دانشگاه فردوسی مشهد، مشهد، ایران

*- نویسنده مسئول: (Email: astaraei@um.ac.ir)

مقدمه

معرض کروم نیز در گیاهان به دلیل تأثیر مستقیم کروم بر آنزیم ها و سایر متابولیت ها یا توانایی آن در تولید گونه های اکسیژن فعال می باشد که ممکن است منجر به استرس اکسیداتیو شود (Shanker et al., 2005). افزایش تولید فرایندهای اکسیداتیو منجر به معیوب سازی DNA و RNA، پراکسیده شدن چربی، پروتئین، کاهش زیست توده، مسدود کردن زنجیره تأمین مواد غذایی و در نهایت کاهش عملکرد گیاه می شود (Raptis et al., 2018). ریشه گیاه اولین اندام است که با آلاینده های خاک مواجه می شود، کروم یکی از مهمترین آلاینده های خاک است که بر رشد و نمو ریشه تأثیر می گذارد. کروم همچنین در تنظیم رشد و تعداد ریشه های ثانویه، توسعه ریشه جانبی، موهای ریشه و تشکیل ریشه های فرعی نقش دارد (Wakeel and Xu, 2020). هسو و همکاران (Hou, et al., 2014) در بررسی اثر کروم بر سه گیاه گندم، ذرت و کاهو کاهش رشد ریشه در اثر افزایش غلظت کروم را مشاهده و عنوان کردند که گیاه کاهو نسبت به سایر گیاهان به سمیت کروم حساس تر است. در مطالعه ای پارک (Park, 2020) تأثیر دو گونه کروم سه ظرفیتی و شش ظرفیتی را بر گیاه کاهو بررسی و با افزایش غلظت هر دو گونه کروم در شرایط هیدروپونیک، به طور قابل توجهی کاهش رشد برگ و ریشه همچنین کاهش غلظت پتاسیم، کلسیم، منیزیم و فسفر را مشاهده کرد. گیل و همکاران (Gill et al., 2015) در بررسی سمیت کروم بر چهار رقم کلازا، کاهش رشد هر چهار رقم مورد آزمایش، افزایش تجمع گونه های فعال اکسیژن (ROS) و مالون دی آلدئید (MDA) و افزایش فعالیت آنزیم های آنتی اکسیدانی در برگ و ریشه را مشاهده کردند. همچنین با ارائه نتایج مطالعه میکروسکوپی الکترونی آسیب های فراساختاری در سلول های مزوفیل برگ و نوک ریشه در اثر سمیت کروم را تایید کردند. در مطالعه ای که دیاس و همکاران (Dias, et al., 2016) با کاربرد مقادیر کروم برگیه کاهو نشان دادند که استرس کروم رشد گیاه را کاهش داد و بر غلظت پتاسیم، منیزیم، آهن و روی در ریشه و برگ، کلروفیل a، آنتوسیانین ها، مقدار پروتئین، قند و همچنین واکنش های فتوسنتزی تأثیر منفی داشت و فرایندهای فتوشیمیایی فتوستتوز نسبت به چرخه کالوین به سمیت کروم حساس تر بودند.

فرایندهای متفاوتی برای حذف کروم شش ظرفیتی پیشنهاد شده است. احیاء شیمیایی متداولترین روش مورد استفاده برای سمیت زدایی با احیاءکننده های آلی و معدنی (به عنوان پذیرای الکترون) است که برای کاهش کروم شش ظرفیتی به کروم سه ظرفیتی به کار می رود؛ بعد از آن کروم سه ظرفیتی با هیدروکسیل واکنش داده و ترکیبات نامحلول و پایدار هیدروکسید کروم را تشکیل می دهد (Li et al., 2017).

اسید هیومیک ها پلی الکترولیت های آلی هستند که بخش مهمی

آلاینده های فلزات سنگین یک مشکل جدی برای محیط زیست می باشد زیرا فعالیت های انسانی مانند استخراج معدن، فراوری و کاربرد این فلزات در دهه های گذشته به شدت افزایش یافته و به چالشی برای زندگی روی زمین تبدیل شده اند. کروم یکی از پرمصرف ترین آلاینده های فلزی می باشد که به عنوان یکی از ۲۰ آلاینده برتر در فهرست مواد خطرناک اولویت های ملی^۱ امریکا در سالهای اخیر می باشد. ترکیبات کروم در صنایع متالورژی، آبکاری فلزات، حفاظت چوب، تولیدجوهر، رنگ، شیشه و سرامیک، دیباغی چرم و صنایع نساجی و بازدارنده های خوردگی در آب سرد بکار می رود؛ منجر به آلودگی شده و ممکن است خطرات عمده ای روی سلامتی ایجاد کند (Dhal et al., 2013) کروم خاصیت سرطان زایی داشته و در انسان دستگاه تنفسی، ارگان اصلی هدف برای کروم شش ظرفیتی است. قرار گرفتن در معرض کروم شش ظرفیتی به صورت مزمن استنشاقی، منجر به اثرات سوء بر دستگاه تنفسی از جمله سوراخ شدن و زخم سپتوم، برونشیت، کاهش عملکرد ریوی، ذات الریه، و خارش و درد بینی می شود. قرار گرفتن مزمن انسان در معرض سطوح زیاد کروم شش ظرفیتی از طریق استنشاق یا خوراکی ممکن است بر روی کبد، کلیه، دستگاه گوارش و سیستم ایمنی بدن و احتمالاً خون تأثیر بگذارد. مواجهه پوستی با کروم شش ظرفیتی ممکن است باعث درماتیت تماسی، حساسیت و زخم پوست شود (Saha et al., 2011). کروم عمدتاً در سه حالت اکسیداتیو کروم صفر ظرفیتی، سه ظرفیتی و شش ظرفیتی موجود است که پایدارترین اشکال کروم هستند. از آنجایی که کروم صفر ظرفیتی شکل فلزی ست، اشکال کروم سه ظرفیتی و شش ظرفیتی در خاک و آب غالب هستند. هنگامی که کروم در آب/خاک قرار می گیرد، دچار تغییرات مختلفی مانند اکسیداسیون، احیاء، جذب، دفع، انحلال و رسوب می شود. حلالیت کروم سه ظرفیتی به pH بستگی دارد، کروم شش ظرفیتی در دامنه وسیعی از pH بسیار محلول است. کروم به عنوان یک عنصر غیر ضروری برای گیاهان، مکانیسم خاصی برای جذب آن وجود ندارد. جذب کروم سه ظرفیتی یک فرآیند غیرفعال است، در حالی که جذب کروم شش ظرفیتی توسط حامل های عناصر ضروری مانند سولفات انجام می شود (Oliveira, 2012). این عنصر قادر است اثرات سمی متعددی بر گیاهان از جمله تغییرات در فرآیند جوانه زنی و کاهش رشد ریشه، ساقه، برگ داشته باشد که در نهایت ممکن است بر تولید و عملکرد ماده خشک اثرگذار باشد و همچنین اثرات مضر بر فرایندهای مورفولوژیکی و فیزیولوژیکی مانند فتوستتوز، روابط آبی و تغذیه معدنی ایجاد کند. تغییرات متابولیکی ناشی از قرار گرفتن در

کاهش قابلیت دسترسی کروم به کاهو از طریق احیاء کروم شش ظرفیتی به کروم سه ظرفیتی در اثر کاربرد لئوناردیت عنوان کردند. با توجه به مصرف زیاد کاهو به صورت تازه خوری در سبذ غذایی جامعه، سلامت این محصول از اهمیت به سزایی برخوردار می باشد. بنابراین پژوهش حاضر با هدف ارزیابی تأثیر سطوح اسید هیومیک در خاک آلوده به کروم و چگونگی واکنش گیاه به سمیت و جذب کروم، در گلخانه تحقیقاتی دانشگاه فردوسی مشهد انجام شد. وزن های خشک برگ، ساقه، ریشه و غلظت کروم در قسمت خوراکی و ریشه گیاه و همچنین فاکتور انتقال، فاکتور انباشت در شاخساره و ریشه اندازه گیری گردید.

مواد و روش ها

این تحقیق بصورت فاکتوریل در قالب طرح کاملاً تصادفی در گلخانه تحقیقاتی دانشکده کشاورزی دانشگاه فردوسی مشهد (مهر ۱۳۹۶) و با سه تکرار انجام شد. خاک از عمق ۳۰ سانتی متری جمع آوری و هوا خشک شد و از الک ۲ میلی متری عبور داده شد. خصوصیات شیمیایی و فیزیکی خاک در جدول ۱ ارائه شده است. بافت خاک به روش هیدرومتری (Bouyoucos, 1962)، درصد مواد آلی (Walkley and Black, 1934) و مقدار کربنات کلسیم معادل (Loeppert and Suarez, 1996) تعیین شدند. نیتروژن کل به روش کج‌لدال (Bremner, 1996)، pH در گل اشباع و قابلیت هدایت الکتریکی در عصاره گل اشباع مطابق روش های معمول اندازه گیری شد (Richards, 1954). غلظت عناصر سنگین کل در خاک با استفاده از روش تیزاب سلطانی (Chen and Ma, 2001) و مقادیر قابل استفاده کروم و سایر عناصر در خاک با استفاده از DTPA عصاره گیری (Quevauviller et al., 1998) شد. جهت اعمال سه سطح کروم (صفر، ۲۵ و ۵۰ میلی گرم بر کیلوگرم خاک)، مقدار مشخصی از نمک $K_2Cr_2O_7$ در آب مقطر حل و محلول های کروم در سه سطح آماده سازی شدند. نمونه های خاک در کیسه های پلاستیکی ریخته شده و بر حسب تیمارها، از محلول پایه به صورت محلول پاشی به خاکها افزوده و به طور کامل مخلوط گردید. نمونه های خاک به مدت ۸ هفته در رطوبت ظرفیت زراعی نگهداری شده تا به تعادل برسند (Wang, et al., 2019). تیمارهای اسید هیومیک نیز به مقدار مشخص و بر پایه درصد، تهیه و به خاک اضافه شده و پس از مخلوط کردن به گلدان های پنج کیلویی منتقل گردید. سه عدد نشاء کاهوی سالادی رومی (*Lactuca sativa* L. var. longifolia) رقم 'سیاهو' از قبل آماده سازی شده در خاک کشت شد. گیاهان در فواصل زمانی معین با مقادیر یکسان آبیاری شدند. بعد از گذشت ۱۰۰ روز از تاریخ کشت، هر سه گیاه در هر گلدان، از ۱ سانتی متر بالای سطح خاک قطع گردید. نمونه های گیاهی جمع آوری و با آب مقطر

از مواد آلی طبیعی در خاک، رسوبات و آب می باشند که به دلیل حضور گسترده در همه جا و دارا بودن گروه های عملکردی مختلف مانند گروه های کربوکسیلیک، فنولیک، هیدروکسیل و برخی از گروه های عاملی حاوی نیتروژن، گوگرد، تأثیر قابل توجهی بر جذب یون های فلزی سمی نشان داده اند و توانایی تشکیل کمپلکس آنها از نظر زیست محیطی دارای اهمیت می باشد (Shaker and Albishri, 2014). حذف و احیاء کروم شش ظرفیتی توسط مواد هیومیک در پژوهش های پیشین گزارش شده است. دو مکانیسم مستقیم و غیر مستقیم برای توصیف فرایند احیا کروم شش ظرفیتی توسط اسید هیومیک مطرح شده است. در مکانیسم مستقیم احیا، کروم شش ظرفیتی با تماس با گروه های دهنده الکترون در فاز مایع احیا گردیده و کروم سه ظرفیتی احیا یافته ممکن است متعاقباً روی سطح ماده جاذب، جذب شده یا در محلول باقی بماند. در مکانیسم غیر مستقیم، کروم شش ظرفیتی روی بار مثبت سطح جاذب، جذب شده و به دنبال آن کروم شش ظرفیتی متصل به اسید هیومیک توسط گروه های دهنده الکترون به کروم سه ظرفیتی احیا شده و کروم سه ظرفیتی ممکن است روی سطح جاذب از طریق کمپلکس شدن باقیمانده، یا به داخل فاز محلول آزاد گردد (Janoš et al., 2009). وو و همکاران (Wu et al., 2017) نشان دادند که اسید هیومیک با منشاء کود گاوی، با داشتن مقدار بیشتر کربن فنلی و کربن اکسیژن-الکیل^۱ دارای توانایی بهتری برای احیاء کروم شش ظرفیتی است. کربن فنلی و کربن اکسیژن-الکیل، مانند الیگوساکارید و مونوساکارید موجود در اسید هیومیک ها، مواد احیا کننده کروم شش ظرفیتی هستند. به عقیده توفنکسی و همکاران (Tüfenkçi et al., 2006) کاربرد اسید هیومیک با تأثیر مثبت بر رشد گیاه و غلظت عناصر غذایی مانند نیتروژن، اسید هیومیک، پتاسیم، کلسیم، منیزیم، آهن و کاهش عناصر سنگین مانند کروم، کبالت و کادمیوم منجر به بهبود رشد کاهو می گردد. مطالعه کاربرد اسید هیومیک و تأثیر آن روی رنگدانه های فتوسنتزی گندم تحت تنش کروم نشان داد که کاربرد سطوح مختلف کروم منجر به کاهش کاروتنوئید، کلروفیل کل، کلروفیل a و کلروفیل b گردید و با افزایش سطوح اسید هیومیک، نسبت کلروفیل a/b و مقدار مالون دی آلدئید (MDA) در گیاه در مقایسه با تیمارهای بدون اسید هیومیک، افزایش یافت که نشان داده نقش اسید هیومیک در تنظیم فعالیت های فتوسنتزی بوده که منجر به کاهش اثرات سوء تنش کروم در گیاه شده است (Akcın and Akcın, 2019). رپتیس و همکاران (Raptis et al., 2018) کاهش تجمع کروم در شاخساره و ریشه گیاه کاهو را با کاربرد ماده آلی لئوناردیت مشاهده کردند و علت این امر را

1- O-alkyl C
2- malondialdehyde

شسته شدند. قسمت های برگ، ساقه و ریشه جداسازی و در دمای ۶۵-۷۰ درجه سانتیگراد تا رسیدن به وزن ثابت در اون خشک گردید. بعد از آن نمونه های خشک شده توزین، آسیاب، الک و برای هضم و آنالیز آماده شدند. نمونه های گیاهی ریشه و شاخساره با روش هضم اسید نیتریک/پیرکلریک برای کروم کل عصاره گیری شد

شسته شدند. قسمت های برگ، ساقه و ریشه جداسازی و در دمای ۶۵-۷۰ درجه سانتیگراد تا رسیدن به وزن ثابت در اون خشک گردید. بعد از آن نمونه های خشک شده توزین، آسیاب، الک و برای هضم و آنالیز آماده شدند. نمونه های گیاهی ریشه و شاخساره با روش هضم اسید نیتریک/پیرکلریک برای کروم کل عصاره گیری شد

جدول ۱- خصوصیات فیزیکی و شیمیایی خاک مورد مطالعه

Table 1- Physicochemical properties of the soil sample

ویژگی خاک Soil properties	مقدار Value	ویژگی خاک Soil properties	مقدار Value
بافت خاک Textural class	Sandy Loam	پتاسیم قابل استفاده Available K (mg.kg ⁻¹)	161.41
واکنش خاک pH	7.71	کروم کل Total Cr (mg.kg ⁻¹)	0.19
هدایت الکتریکی ECe (dS.m ⁻¹)	1.42	آهن کل Total Fe (mg.kg ⁻¹)	2457.84
کربن آلی Organic C (%)	0.48	منگنز کل Total Mn (mg.kg ⁻¹)	42.12
کربنات کلسیم CaCO ₃ (%)	15.20	کروم قابل دسترس DTPA- extractable Cr (mg.kg ⁻¹)	0.01
نیترژن کل Total nitrogen (%)	0.03	آهن قابل دسترس DTPA- extractable Fe (mg.kg ⁻¹)	12.74
فسفر قابل دسترس Available P (mg.kg ⁻¹)	10.60	منگنز قابل دسترس (میلی گرم بر کیلوگرم) DTPA- extractable Mn (mg.kg ⁻¹)	40.26

فاکتور انتقال^۱ و فاکتور انباشت زیستی BAF^۲ از فرمول های زیر محاسبه شدند.

فاکتور انتقال^۱ و فاکتور انباشت زیستی BAF^۲ از فرمول های زیر محاسبه شدند.

$$\text{فاکتور انتقال} = \frac{\text{غلظت کروم در شاخساره (میلی گرم بر کیلوگرم)}}{\text{غلظت کروم در ریشه (میلی گرم بر کیلوگرم)}}$$

$$\text{فاکتور انباشت زیستی شاخساره} = \frac{\text{غلظت کروم در شاخساره (میلی گرم بر کیلوگرم)}}{\text{غلظت کروم در خاک (میلی گرم بر کیلوگرم)}}$$

$$\text{فاکتور انباشت زیستی ریشه} = \frac{\text{غلظت کروم در ریشه (میلی گرم بر کیلوگرم)}}{\text{غلظت کروم در خاک (میلی گرم بر کیلوگرم)}}$$

تجزیه آماری داده ها با استفاده از نرم افزار JMP8 انجام شد. مقایسه میانگین های هر تیمار بر اساس آنالیز واریانس (Two-Way ANOVA) و مطابق حداقل تفاوت معنی دار (LSD)^۳ انجام شد.

نتایج و بحث

وزن خشک گیاه (برگ، ساقه، ریشه و شاخساره)

نتایج حاصل از تجزیه واریانس زیست توده برگ، ساقه، شاخساره

معنی دار بود (جدول ۲).
معنی دار داشت و برهمکنش این دو، در همه موارد به غیر از ساقه، معنی دار بود (جدول ۲).
با افزایش سطوح کروم در خاک وزن خشک برگ، شاخساره و ریشه به طور معنی دار کاهش یافته است. در کاهو، مصرف ۲۵ و ۵۰ میلی گرم کروم بر کیلوگرم خاک موجب کاهش میانگین وزن خشک برگ به ترتیب معادل ۸۳٪ و ۱۹۴٪ (شکل ۱)، وزن خشک شاخساره به ترتیب معادل ۱۰۱٪ و ۲۱۹٪ (شکل ۳)، وزن خشک ریشه به ترتیب معادل ۶۵٪ و ۹۲٪ نسبت به شاهد شدند (شکل ۲). به نظر می رسد تأثیر این آلاینده در کاهش زیست توده برگ بیشتر از ریشه و در شاخساره بیشتر از برگ و ریشه بوده است.

بیشترین میزان تأثیر نسبت به شاهد، در سطح ۵۰ میلی گرم بر کیلوگرم کروم مربوط به شاخساره گیاه بوده است. قرار گرفتن گیاهان مختلف در معرض افزایش غلظت کروم، منجر به اختلال در رشد و نمو کاهو و گندم می گردد (Ali et al., 2015; Dias et al., 2016; Gill et al., 2015). کروم با فرآیندهای فتوسنتزی (Dias et al., 2016) تنفس، مکانیسم جذب آب و مواد معدنی تداخل دارد (Singh et al., 2013). همچنین سمیت کروم در گیاهان را می توان با تأثیر منفی بر بیوسنتز رنگدانه (Ma et al., 2016)، رشد

- 1- Translocat Factor
- 2- Bioaccumulation Factor
- 3- Least Significant Differenceion

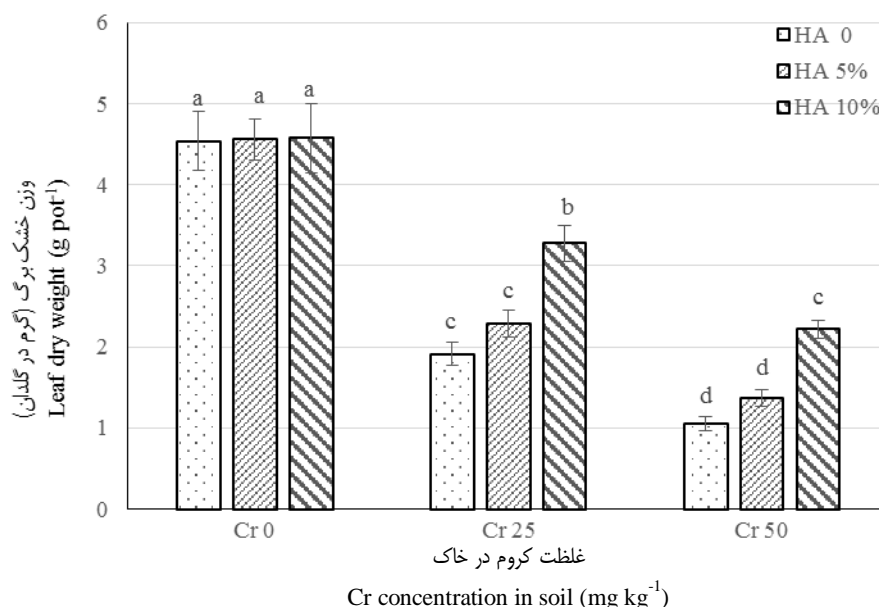
پراکسیداسیون لیپیدی و تغییر فعالیت‌های آنتی‌اکسیدانی می‌شود (Shahid et al., 2017). به هم‌ریختگی ساختار کلروپلاست، مهار انتقال الکترون و تأثیر کروم بر آنزیم‌های چرخه کالوین، توضیحی برای کاهش نرخ فتوسنتز می‌باشد (Shanker et al., 2005).

ریشه اعم از طول، حجم و تعداد نوک (Zhao et al., 2019) و آسیب‌های فراساختاری در سلول‌های مزوفیل برگ و نوک ریشه (Gill et al., 2015) مرتبط دانست. تجمع کروم در بافت‌های گیاهی فراتر از سطح سمیت گیاه منجر به ایجاد استرس اکسیداتیو ثانویه و در نتیجه تولید بیش از حد گونه‌های فعال اکسیژن ROS،

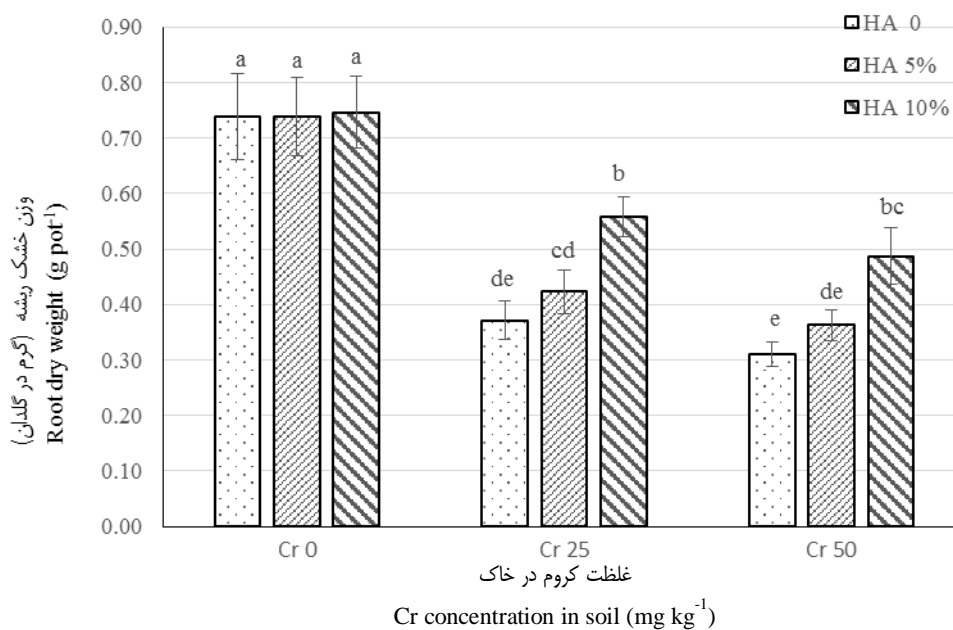
جدول ۲- تجزیه واریانس اثر سطوح کروم و اسید هیومیک، بر وزن خشک برگ، ساقه، ریشه و شاخساره کاهو سالادی رومی رقم 'سپاهو'
Table 2- ANOVA for the effect of Cr and humic acid levels on leaf, stem, shoot and root dry weight in *Lactuca sativa* L. var. longifolia

منابع تغییرات Source of variance	درجه آزادی df	وزن خشک Dry weight			
		برگ Leaf	ساقه Stem	شاخساره Shoot	ریشه Root
کروم Cr	2	21.3 **	2.62 **	38.6 **	0.3234 **
اسید هیومیک Humic acid (HA)	2	1.77 **	0.0417 **	2.23 **	0.0374 **
Cr × HA	4	0.413 **	0.0008 ns	0.441 **	0.0078 *
خطا Error	18	0.057	0.0069	0.048	0.0024
ضریب تغییرات CV(%)		7.22	8.24	5.61	8.83

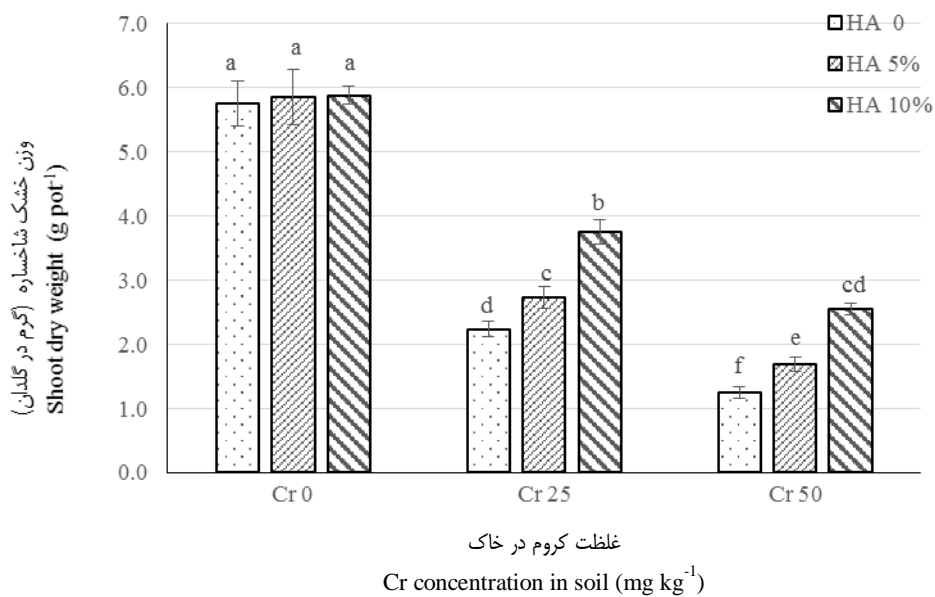
ns، * و ** به ترتیب عدم معنی‌داری و معنی‌دار در سطح احتمال پنج و یک درصد
ns، * and **: non-significant and significant at $p \leq 0.05$ and $p \leq 0.01$, respectively.



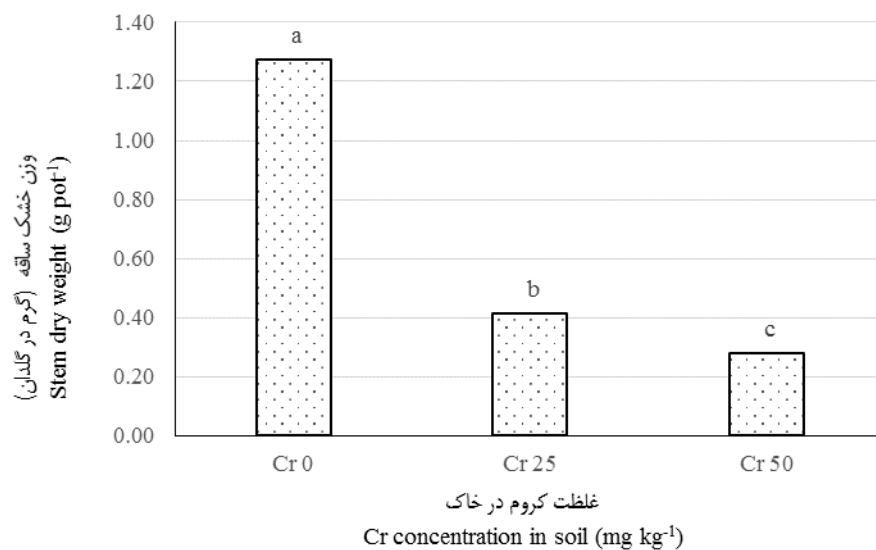
شکل ۱- اثر متقابل سطوح کروم × اسید هیومیک بر وزن خشک برگ کاهو سالادی رومی رقم 'سپاهو'
Figure 1 –The interaction effect of Cr ×humic acid levels on leaf dry weight of *Lactuca sativa* L. var. longifolia (LSD, $p < 0.05$)



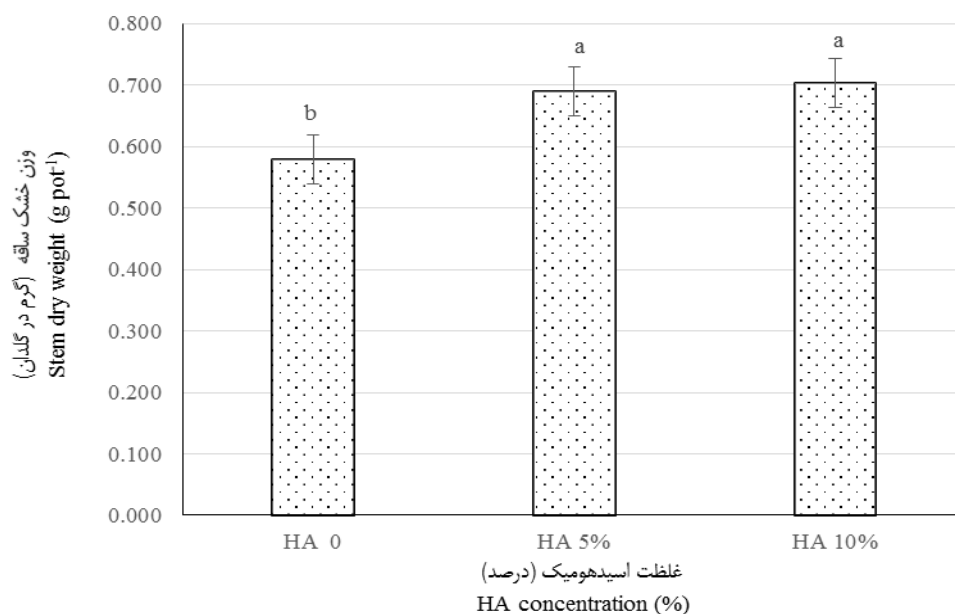
شکل ۲- اثر متقابل سطوح کروم × اسید هیومیک بر وزن خشک ریشه کاهو سالادی رومی رقم 'سیاهو'
 Figure 2- The interaction effect of Cr ×humic acid levels on root dry weight of *Lactuca sativa* L. var. longifolia (LSD, $p < 0.05$)



شکل ۳- اثر متقابل سطوح کروم × اسید هیومیک بر وزن خشک شاخساره کاهو سالادی رومی رقم 'سیاهو'
 Figure 3- The interaction effect of Cr ×humic acid levels on shoot dry weight of *Lactuca sativa* L. var. longifolia (LSD, $p < 0.05$)



شکل ۴- اثر سطوح کروم بر وزن خشک ساقه کاهو سالادی رومی رقم 'سیاهو'
 Figure 4- The effect of Cr levels on stem dry weight of *Lactuca sativa* L. var. longifolia
 ($p < 0.05$)



شکل ۵- اثر سطوح اسید هیومیک بر وزن خشک ساقه کاهو سالادی رومی رقم 'سیاهو'
 Figure 5- The effect of humic acid levels on stem dry weight of *Lactuca sativa* L. var. longifolia
 (LSD, $p < 0.05$)

اثر ساده سطوح کروم بر زیست توده ساقه نشان داد که با افزایش سطوح ۲۵ و ۵۰ میلی گرم کروم بر کیلوگرم خاک، وزن خشک ساقه کاهش معنی دار به ترتیب معادل ۲۰۷٪ و ۳۵۵٪ نسبت به شاهد داشت (شکل ۴). همچنین با افزایش اسید هیومیک ۵ درصد و ۱۰ درصد وزن خشک ساقه به ترتیب معادل ۱۹٪ و ۲۱٪ افزایش معنی دار نشان داد (شکل ۵)؛ که سطوح ۵ و ۱۰ درصد اسید هیومیک باهم اختلاف معنی دار نداشتند.

اثر ساده سطوح اسید هیومیک بر وزن خشک برگ، شاخساره و ریشه کاهو نشان داد که افزایش سطح ۵ و ۱۰ درصد اسید هیومیک، وزن خشک برگ را به ترتیب معادل ۹/۴٪ و ۳۴٪ (شکل ۱)، و وزن خشک شاخساره را به ترتیب معادل ۱۱٪ و ۳۲٪ (شکل ۳) و وزن خشک ریشه را معادل ۷/۳٪ و ۲۹٪ (شکل ۲) نسبت به شاهد افزایش دادند. به نظر می رسد تأثیر اسید هیومیک بر افزایش زیست توده هوایی بیشتر از زیست توده ریشه می باشد.

نتایج ارائه شده اثر متقابل کروم و اسیدهیومیک نشان دادند که اسید هیومیک تأثیر سوء کروم بر رشد کاهو را کاهش داد، به طوری که سطح ۵۰ میلی گرم کروم بر کیلوگرم + سطح صفر اسید هیومیک منجر به کاهش وزن خشک برگ، شاخساره و ریشه به ترتیب معادل ۳۲۷٪، ۳۶۰٪ و ۱۳۸٪ نسبت به تیمار شاهد (Cr₀ HA₀) شده و سطح ۵۰ میلی گرم کروم بر کیلوگرم + ۵ درصد اسید هیومیک، این کاهش را به ترتیب معادل ۲۳۵٪، ۲۴۹٪ و ۱۰۴٪ درصد نسبت به تیمار شاهد (Cr₀ HA₅) و سطح ۵۰ میلی گرم کروم بر کیلوگرم + سطح ۱۰ درصد اسید هیومیک این کاهش را به ۱۰۶٪، ۱۳۱٪ و ۵۳٪ نسبت به شاهد (Cr₀ HA₁₀) رساند. به نظر می رسد کاهش اثر بازدارندگی کروم در همه اجزاء گیاه، در اثر کاربرد اسید هیومیک در سطوح بیشتر کروم بیش از سطوح کمتر کروم باشد به طوری که با کاربرد ۲۵ میلی گرم کروم بر کیلوگرم خاک + اسید هیومیک ۵ درصد و ۱۰ درصد، وزن خشک برگ به ترتیب ۱۹/۵٪ و ۷۱/۲٪ و در سطح ۵۰ میلی گرم کروم بر کیلوگرم به ترتیب ۲۹٪ و ۱۱۰٪ نسبت به شاهد هر یک (Cr25 HA0 و Cr50 HA0) افزایش یافت (شکل ۱). افزایش اسید هیومیک ۵ درصد و ۱۰ درصد در سطح ۲۵ میلی گرم کروم بر کیلوگرم خاک وزن خشک شاخساره را به ترتیب ۲۲٪ و ۶۷٪ نسبت به شاهد (Cr25 HA0) و در سطح ۵۰ میلی گرم کروم بر کیلوگرم به ترتیب ۳۵٪ و ۱۰۴٪ نسبت به شاهد (Cr50 HA0) افزایش داد (شکل ۳). همچنین در سطح ۲۵ میلی گرم کروم بر کیلوگرم خاک + اسید هیومیک ۵ درصد و ۱۰ درصد، وزن خشک ریشه به ترتیب ۱۴٪ و ۵۰٪ نسبت به شاهد (Cr25 HA0)، و در سطح ۵۰ میلی گرم کروم بر کیلوگرم به ترتیب ۱۷٪ و ۵۷٪ نسبت به شاهد (Cr50HA0) افزایش یافت (شکل ۲). بیشترین میزان وزن خشک اجزاء مختلف گیاه در هر سطح کروم، با کاربرد اسید هیومیک ۱۰ درصد و کمترین مقدار، بدون کاربرد اسید هیومیک در هر تیمار کروم مشاهده شد. همچنین با مقایسه درصد افزایش زیست توده در اثر کاربرد اسیدهیومیک در اجزاء مختلف کاهو، می توان نتیجه گرفت که در شرایط تنش کروم، اثر بخشی اسید هیومیک بر افزایش زیست توده هوایی بیشتر از ریشه می باشد. کاهش جذب و به کارگیری مواد غذایی یکی از اثرات مهم شناخته شده فلزات سمی بر روی گیاهان می باشد (Shanker et al., 2005). در پژوهشی دیاس و همکاران (Dias et al., 2016) در اثر کاربرد کروم، کاهش غلظت برخی از عناصر غذایی پر مصرف و کم مصرف را در کاهو گزارش و عنوان کردند که کروم علاوه بر اختلال در جذب آهن، منیزیم، روی و پتاسیم، بر رنگدانه ها، مقدار پروتئین، قند و همچنین واکنش های فتوسنتزی تأثیر منفی دارد. فرآیندهای فتوشیمیایی فتوسنتز نسبت به چرخه کالوین به سمیت کروم حساس تر بوده و فتوسنتز هدف اصلی بازدارندگی کروم شش ظرفیتی است. تنش کروم یکی از عوامل مهمی است که بر فتوسنتز از طریق تأثیر بر تثبیت CO₂، انتقال

الکترون، فسفری شدن نوری^۱ و فعالیت آنزیمی مؤثر می باشد. اثر کلی یون های کروم بر فتوسنتز و تحریک انتقال انرژی نیز می تواند به دلیل ناهنجاری های ناشی از کروم شش ظرفیتی در فراساختار کلروپلاست باشد (Shanker et al. 2005). اکسین و اکسین (Akcin and Akcin, 2019) نشان دادند که کاربرد سطوح مختلف کروم منجر به کاهش کاروتنوئید، کلروفیل کل، کلروفیل a و b در گیاه گندم گردید و با افزایش اسید هیومیک، نسبت کلروفیل a/b و مقدار مالون دی آلدئید (MDA)^۲ در گیاه در مقایسه با تیمارهای بدون اسید هیومیک، افزایش یافت که نشان داد کاربرد اسید هیومیک با تنظیم فعالیت های فتوسنتزی منجر به کاهش اثرات سوء تنش کروم در گیاه شد. همچنین توفکنسی و همکاران (Tüfenkçi et al., 2006) با بررسی تأثیر سطوح مختلف اسید هیومیک بر مقادیر عناصر سنگین و رشد گیاه کاهو در خاک های آلوده به لجن فاضلاب عنوان کردند که کاربرد اسید هیومیک با کاهش عناصر سنگین مانند کروم، کبالت و کادمیوم منجر به بهبود رشد گیاه کاهو گردید.

غلظت کروم در شاخساره و ریشه

تجزیه واریانس اثر سطوح کروم و اسید هیومیک، بر غلظت کروم در شاخساره و ریشه، فاکتور انتقال و فاکتور انباشت شاخساره و ریشه در کاهو نشان داد که تأثیر کروم، بر پارامترهای ذکر شده معنی دار بود. همچنین اثر کاربرد سطوح مختلف اسید هیومیک بر همه این موارد معنی دار بود. اثر برهمکنش کروم و اسیدهیومیک نیز، در همه موارد غیر از فاکتور انباشت زیستی شاخساره معنی دار بود (جدول ۳). میانگین غلظت کروم در شاخساره و ریشه کاهو نشان داد که با افزایش سطوح کروم در خاک، غلظت کروم در ریشه و شاخساره گیاه به طور قابل توجهی بیش از شاهد بود (جدول ۴). در سطح صفر اسید هیومیک + ۵۰ میلی گرم کروم بر کیلوگرم، غلظت کروم در شاخساره از ۰/۰۰۱۶ به ۳۷/۷ و در ریشه از ۰/۰۵۱ به ۳۳۰ میلی گرم بر کیلوگرم وزن خشک گیاه رسیده است. در پژوهش های پیشین، افزایش غلظت کروم در اثر آلاینده گیاهی کروم در کاهو (Raptis et al., 2018; Park 2020; Dias et al., 2016; Christou et al., 2021a)، گوجه فرنگی (Christou et al., 2021b) و اسفناج (Jahanbakhshi et al., 2014) گزارش شده است.

با افزایش سطوح اسیدهیومیک، غلظت کروم شاخساره به طور معنی دار کاهش یافت. همچنین افزایش سطوح اسیدهیومیک موجب افزایش معنی دار غلظت کروم ریشه شد. افزایش سطوح ۵ و ۱۰ درصد اسیدهیومیک، غلظت کروم را در شاخساره به ترتیب ۱۸٪ و ۸۳٪

1- photophosphorylation
2- malondialdehyde

هیومیک و کروم در گیاهان مختلف گزارش شده است (Kalčíková *et al.*, 2016; Akcin and Akcin, 2019). منطقی‌ترین توضیح برای قابلیت دسترسی کم کروم در حضور اسید هیومیک این است که اکثر کروم سه‌ظرفیتی ایجاد شده از احیاء کروم شش ظرفیتی توسط اسید هیومیک کمپلکس شده و برای جذب گیاه در دسترس نیست. علاوه بر این، جذب کروم در ریشه گیاه به گونه کروم بستگی دارد؛ کروم سه‌ظرفیتی به‌طور غیرفعال با انتشار ساده در مکان‌های تبادل کاتیونی دیواره‌های سلولی جذب می‌شود (Singh *et al.*, 2013). درحالی‌که کروم شش ظرفیتی به‌طور فعال (با هدایت متابولیکی) توسط ناقلان سولفات حمل می‌شود و درون ریشه‌ها، کروم شش ظرفیتی بلافاصله به کروم سه‌ظرفیتی تبدیل می‌شود (Shanker *et al.*, 2005). در پژوهش گلخانه‌ای که رپتیس و همکاران (Raptis *et al.*, 2018) روی خاک آهکی و گیاه کاهو تحت تنش کروم و در حضور مقادیر متفاوت لئوناردیت^۲ - که گونه اکسید یافته لیگنیت بوده و دارای مقادیر بالای اسید هیومیک می‌باشد - به‌عنوان ماده آلی، انجام دادند؛ کمترین مقدار کروم در شاخساره را بعد از افزودن بیشترین مقدار لئوناردیت مشاهده و عنوان کردند که کاربرد ماده آلی تجمع کروم در شاخساره کاهو را ۹۲ درصد کاهش داد که نشان می‌دهد افزودن مواد آلی مانند لئوناردیت، به‌عنوان دهنده الکترون در واکنش احیاء کروم شش ظرفیتی به کروم سه ظرفیتی عمل کرده و از این طریق موجب کاهش قابلیت دسترسی کروم به کاهو گردید.

در پژوهشی که توفنکسی و همکاران (Tüfenkçi *et al.*, 2006) با به کار بردن غلظت‌های متفاوت اسید هیومیک و لجن فاضلاب - که حاوی مقادیر بالای عناصر سنگین می‌باشد - در گیاه کاهو بهبود رشد و جذب عناصر غذایی پرمصرف و کم مصرف مانند نیتروژن، فسفر و پتاسیم غلظت آهن، کلسیم و منیزیم در برگ کاهو و افزایش فعالیت‌های بیوشیمیایی خاک مانند تنفس، نیتریفیکاسیون و معدنی شدن نیتروژن را مشاهده کردند. اسید هیومیک احتمالاً بر تعداد باکتری‌های هتروتروف و اتوتروف‌های نیتریفایر^۳ در خاک تأثیر قابل ملاحظه‌ای دارد و مکانیسمی که از طریق آن اسیدهای هیومیک بر میکروبهای خاک و گیاه اثرگذار هست، ممکن است به‌طور عمده شامل افزایش نفوذپذیری غشای سلولی به مواد مغذی باشد (Valdrighi *et al.*, 1996). وو و همکاران (Wu *et al.*, 2017) با بررسی اسید هیومیک‌های با منشأ متفاوت نشان دادند که اسید هیومیک با مقادیر بیشتر کربن فنلی و کربن اکسیژن-الکیل دارای توانایی بهتر برای احیاء کروم شش ظرفیتی است. کربن فنلی و کربن اکسیژن-الکیل، مانند الیگوساکارید و مونوساکارید موجود در اسید هیومیک‌ها مواد احیاکننده کروم شش ظرفیتی هستند.

کاهش، و در ریشه ۱۸٪ و ۲۹٪ نسبت به شاهد افزایش داد. (جدول ۴). داده‌های مربوط به غلظت کروم در بافت‌های کاهو نشان دادند که قسمت اعظم عنصر جذب شده در ریشه‌ها انباشته شده است و تنها بخش کوچک‌تری به اندام هوایی منتقل شده است (جدول ۴). در پژوهش‌های پیشین تجمع بیشتر کروم در ریشه نسبت به اندام‌های هوایی در کاهو (Raptis *et al.*, 2018) و اسفناج (Alashti *et al.*, 2013) گزارش شده است. احتمالاً کروم در مکان‌های خارج سلولی با بار منفی (به‌عنوان مثال، -COO-) دیواره سلولی ریشه جذب می‌شود بنابراین، بی‌تحرکی کروم در واکنش‌های سلول‌های ریشه رخ داده است (Sinha *et al.*, 2018). انتقال ضعیف کروم به اندام‌های هوایی می‌تواند به دلیل جداسازی^۱ بیشتر کروم در واکنش‌های سلول‌های ریشه باشد تا سمیت عنصر را در گیاه کم کند و احتمالاً یک پاسخ طبیعی به سمیت عناصر سنگین در گیاه می‌باشد (Sauerbeck, 1991; Riaz *et al.*, 2019). همان‌گونه که انتظار می‌رفت غلظت کروم در شاخساره گیاهانی که تیمار ۵ و ۱۰ درصد اسید هیومیک دریافت کردند نسبت به شاهد کاهش معنی‌دار نشان دادند؛ به‌گونه‌ای که با افزودن سطوح ۵ درصد و ۱۰ درصد اسید هیومیک و کاربرد سطح ۲۵ میلی‌گرم کروم بر کیلوگرم، غلظت کروم در شاخساره از ۱۷/۸ در شاهد (Cr25HA0) به ترتیب به ۱۴/۷ و ۱۱/۳ میلی‌گرم بر کیلوگرم می‌رسد که معادل ۲۱٪ و ۵۸٪ کاهش می‌باشد و با کاربرد سطح ۵۰ میلی‌گرم کروم بر کیلوگرم، غلظت این عنصر در شاخساره از ۴۷/۷ برای شاهد (Cr50HA0) به ترتیب ۴۰/۸ و ۲۴/۶ میلی‌گرم بر کیلوگرم می‌رسد که معادل ۱۷٪ و ۹۴٪ کاهش غلظت می‌باشد. (جدول ۴). در ریشه کاربرد این اصلاح‌کننده اثر مثبت و معنی‌دار بر غلظت کروم ریشه داشت به‌گونه‌ای که کاربرد ۵ و ۱۰ درصد اسید هیومیک در سطح ۲۵ میلی‌گرم کروم بر کیلوگرم، غلظت کروم را از ۱۱۴ برای شاهد (Cr25HA0) به ترتیب به ۱۴۳ و ۱۵۴ میلی‌گرم بر کیلوگرم افزایش داد که معادل ۲۶٪ و ۳۶٪ افزایش می‌باشد، هرچند بین سطوح ۵ درصد و ۱۰ درصد اسید هیومیک تفاوت معنی‌دار وجود نداشت؛ و در سطح ۵۰ میلی‌گرم کروم بر کیلوگرم خاک، غلظت کروم در ریشه از ۲۹۱ برای شاهد (Cr50HA0) به ترتیب به ۳۳۲ و ۳۶۸ میلی‌گرم بر کیلوگرم وزن خشک می‌رسد که معادل ۱۴٪ و ۲۶٪ افزایش می‌باشد.

بیشینه غلظت کروم در شاخساره در تیمار ۵۰ کروم و بدون مصرف اسید هیومیک (۴۷/۷ میلی‌گرم بر کیلوگرم) و کمترین مقدار کروم در هر تیمار کروم، با مصرف ۱۰ درصد اسید هیومیک مشاهده شد. در ریشه بیشترین غلظت کروم (۳۶۸ میلی‌گرم بر کیلوگرم) در تیمار ۵۰ میلی‌گرم بر کیلوگرم کروم و با کاربرد ۱۰ درصد اسید هیومیک مشاهده شد.

در پژوهش‌های پیشین کاهش اثرات سمیت کروم با مصرف اسید

2- leonardite
3- nitrifier

1- sequesterization

جدول ۳- تجزیه واریانس اثر سطوح کروم و اسید هیومیک بر غلظت کروم در شاخساره و ریشه، فاکتور انتقال و فاکتور انباشت شاخساره و ریشه در کاهو سالادی رومی رقم 'سیاهو'

Table 3- ANOVA for the effect of Cr and humic acid levels on Cr concentration in shoot and root, translocation factor and shoot and root bioaccumulation factor in *Lactuca sativa* L. var. longifolia

میانگین مربعات Means squares						
منابع تغییرات Source of variance	درجه آزادی df	محتوی کروم شاخساره Cr co. in Shoot	محتوی کروم ریشه Cr co. in Root	فاکتور انتقال Translocation factor	فاکتور انباشت شاخساره Shoot Bioaccumulation factor	فاکتور انباشت ریشه Root Bioaccumulation factor
کروم Cr	2	3250 **	247803 **	0.0203 **	13.0 **	819 **
اسید هیومیک Humic acid (HA)	2	228 **	3502 **	0.0080 **	0.415 **	130 **
Cr × HA	4	113 **	1134 *	0.0022 **	0.163 ns	25.4 **
خطا Error	18	10.4	273	0.0001	0.058	2.36
ضریب تغییرات CV (%)		12.7	8.75	8.61	11.3	8.60

ns, * and **: non-significant and significant at $p \leq 0.05$ and $p \leq 0.01$, respectively. ns, * and **: non-significant and significant at $p \leq 0.05$ and $p \leq 0.01$, respectively.

جدول ۴- تأثیر سطوح اسید هیومیک بر مقدار کروم در ریشه، شاخساره و فاکتور انتقال، فاکتور انباشت زیستی شاخساره و ریشه کاهو سالادی رومی رقم 'سیاهو' تحت آلودگی کروم

Table 4- The effect of humic acid levels on shoot and root Cr content, translocation factor, shoot and root bioaccumulation factor of *Lactuca sativa* L. var. longifolia under Cr contamination

Cr (mg kg ⁻¹)	0			25			50		
	0	5	10	0	5	10	0	5	10
اسید هیومیک Humic acid (%)									
غلظت کروم در شاخساره Shoot Cr concentration (mg.kg ⁻¹)	0.0016 e	0.0016 e	0.0017 e	17.8 d	14.7 de	11.3 e	47.7 a	40.8 b	24.6 c
غلظت کروم در ریشه Root Cr concentration (mg.kg ⁻¹)	0.049 f	0.051 f	0.052 f	113 e	143 d	154 d	291 c	332 b	367 a
فاکتور انتقال Translocation factor	0.032 e	0.032 e	0.032 e	0.156 a	0.103 c	0.073 d	0.164 a	0.122 b	0.067 d
فاکتور انباشت ریشه Root bioaccumulation factor	3.85 f	3.90 f	4.83 f	14.4 e	18.8 cd	24.3 b	16.9 de	20.4 c	28.5 a

در هر ردیف، مقادیری که دارای یک حرف مشترک هستند، طبق آزمون LSD تفاوت معنی داری ندارند ($P \leq 0.05$).

In each row, values having a common letter are not significantly different ($P \leq 0.05$) according to LSD test.

الکترون (۲) احیاء زیستی میکروارگانیسم‌ها که توسط بستر کربن تحریک شده‌اند و (۳) کاهش مقدار پتانسیل ردکس خاک باعث احیاء کروم شش ظرفیتی می‌شود. برای کروم شش ظرفیتی می‌تواند به‌طور مستقیم توسط مواد آلی احیاء شود که گروه‌های عاملی موجود در این مواد که غنی از الکترون هستند (به‌عنوان مثال، گروه‌های فنولی،

به‌طور خلاصه، افزایش تثبیت^۱ کروم شش ظرفیتی خاک ناشی از افزودن مواد آلی را می‌توان به سه مکانیسم نسبت داد: (۱) احیاء غیر زیستی کروم شش ظرفیتی به کروم سه ظرفیتی با ارائه منابع دهنده

1- immobilization

ذکر شده است که پس از جذب کروم توسط ریشه‌ها از محلول غذایی به شکل گونه کروم سه یا کروم شش ظرفیتی، به خوبی به جای دیگر منتقل نمی‌شود و تا حد زیادی در ریشه گیاهان باقی می‌ماند (Kalčíková *et al.*, 2016).

فاکتور انتقال (TF)

برای درک بهتر توزیع کروم، فاکتور انتقال (TF) به عنوان یک پارامتر معتبر برای ارزیابی تأثیر اسید هیومیک بر توزیع کروم در گیاه انتخاب شد. بیشترین فاکتور انتقال کروم شاخساره در این آزمایش ۰/۱۶۴ بود (جدول ۴) که نشان می‌دهد تنها بخش بسیار کمی از کروم از ریشه به اندام هوایی منتقل شده است. این مطالعه نشان داد که اندام‌های مختلف کاهو توانایی‌های جذبی متفاوتی از کروم را نشان می‌دهند و ریشه‌های گیاه نسبت به برگ، توانایی بیشتری برای جذب کروم دارند. تجمع بیشتر کروم در ریشه‌ها نسبت به اندام هوایی در این پژوهش با یافته‌های قبلی مطابقت دارد که غلظت بیشتر کروم در ریشه‌ها را به ذخیره کروم در واکنش‌های ریشه نسبت دادند (Shanker *et al.*, 2005 ; Riaz *et al.*, 2019).

افزایش سطوح کروم موجب افزایش معنی‌دار فاکتور انتقال شد؛ به طوری که در تیمارهای ۲۵ و ۵۰ میلی‌گرم کروم بر کیلوگرم خاک، فاکتور انتقال از ۰/۰۳۲ برای شاهد، به ترتیب به ۰/۱۱۱ و ۰/۱۱۸ افزایش یافت، هرچند این تفاوت بین سطوح ۲۵ و ۵۰ میلی‌گرم کروم بر کیلوگرم از نظر آماری معنی‌دار نبود. انتقال کروم از ریشه به اندام هوایی، در تیمار ۲۵ و ۵۰ میلی‌گرم بر کیلوگرم کروم حداکثر بود و حداقل این فاکتور در تیمار صفر کروم مشاهده شد. این بدان معنی است که انتقال مؤثر از ریشه به اندام هوایی در غلظت‌های بیشتر کروم صورت گرفته است. به طور کلی فرض بر این است که انتقال کروم تنها زمانی رخ می‌دهد که غلظت آن بالاتر از سطح سمیت باشد (Ertani *et al.*, 2017).

افزایش سطوح اسید هیومیک اثر کاهشی معنی‌دار بر فاکتور انتقال کروم داشت (جدول ۴)، به گونه‌ای که فاکتور انتقال کروم از ۰/۱۱۷ برای تیمار صفر اسید هیومیک، با افزودن ۵ و ۱۰ درصد این اصلاح کننده به ۰/۰۸۶ و ۰/۰۵۸ رسید که معادل ۳۷٪ و ۱۰۳٪ کاهش بود. کاربرد همزمان اسید هیومیک و کروم، فاکتور انتقال را در مقایسه با گیاهان تیمار شده با کروم به تنهایی، کاهش داد. در خاک حاوی کروم ۲۵ میلی‌گرم بر کیلوگرم، کاربرد اسید هیومیک به مقدار ۵ درصد و ۱۰ درصد، فاکتور انتقال از ۰/۱۵۶ برای شاهد (Cr25HA0) به ترتیب به ۰/۱۰۳ و ۰/۰۷۳ رسید که معادل ۵۲٪ و ۱۱۳٪ کاهش می‌باشد. برای تیمار ۵۰ میلی‌گرم کروم بر کیلوگرم نیز افزایش این سطوح اسید هیومیک فاکتور انتقال را به ترتیب از ۰/۱۶۴ برای شاهد (Cr50HA0) به ۰/۱۲۲ و ۰/۰۶۷ رساند که ۳۴٪ و ۱۴۳٪ نسبت به شاهد کاهش داشت. این یافته ممکن است مربوط به افزایش جذب و

هیدروکسیل، کربوکسیل و آلدئیدی) نقش مهمی در احیا کروم شش ظرفیتی دارند که علاوه بر داشتن نقش اهداکننده الکترون برای احیاء کروم شش ظرفیتی، می‌توانند در کمپلکس کردن کروم نیز شرکت کنند (Yang *et al.*, 2021). چهار مرحله برای مکانیسم ماندگاری^۱ کروم شش ظرفیتی توسط اسید هیومیک عنوان شده است: (۱) جذب الکتروستاتیک کروم شش ظرفیتی روی سطح اسید هیومیک (۲) کمپلکس شدن کروم شش ظرفیتی توسط کربوکسیل و استر (۳) احیاء کروم شش ظرفیتی کمپلکس شده به کروم سه ظرفیتی توسط فنل و پلی‌ساکارید (۴) کروم سه ظرفیتی احیاء شده توسط گروه‌های کربوکسیل کمپلکس می‌شود (Zhang *et al.*, 2017). این گروه‌های عاملی مؤثر در ماندگاری کروم شش ظرفیتی در ناحیه آروماتیک واقع شده‌اند. ناحیه آروماتیک اسید هیومیک با گروه‌های عملکردی قطبی مانند گروه‌های فنل و کربوکسیل مکان‌های عمده هستند که در احیاء کروم شش ظرفیتی شرکت می‌کنند (Chen *et al.*, 2011).

کروم شش ظرفیتی با مواد هیومیکی در محدوده وسیعی از مقادیر pH موجود در محیط واکنش داده و به کروم سه ظرفیتی احیا می‌شود. احیا کروم شش ظرفیتی سمیت کروم را کاهش می‌دهد و کروم سه ظرفیتی ایجاد شده توسط این فرایند، به شدت توسط پیوند درون کره‌ای^۲ با اسیدهای هیومیک حفظ می‌شود، که به‌طور قابل توجهی فرصت انتشار کروم سه ظرفیتی یا اکسیداسیون مجدد به گونه‌های متحرک کروم شش ظرفیتی را کاهش می‌دهد (Aldmour *et al.*, 2019). وجود گروه‌های عاملی آروماتیک و جزء دارای اکسیژن موجب افزایش سرعت واکنش احیاء این عنصر می‌شود (Huang *et al.*, 2012). گروه‌های عملکردی برای اجزاء مختلف هوموس، دارای ترتیب ترجیحی برای واکنش با کروم شش ظرفیتی به ترتیب کربوکسیل < فنل < هیدروکسیل < کربوکسیل کالاته < متیل < متیلن می‌باشند. بعلاوه، گروه‌های کربوکسیل به احتمال زیاد، به‌عنوان یک لیگاند برای کمپلکس کردن کروم عمل می‌کند (Zhang *et al.*, 2019).

اسید هیومیک با کمپلکس کردن کروم سه ظرفیتی و کاهش قابلیت دسترسی آن برای گیاه، موجب کاهش غلظت کروم در گیاه می‌شود. علاوه بر این، جذب کروم در ریشه گیاه به گونه کروم بستگی دارد: کروم سه ظرفیتی به صورت غیرفعال با انتشار ساده در مکان‌های تبادل کاتیونی دیواره‌های سلولی جذب می‌شود (Singh *et al.*, 2013) حال آنکه کروم شش ظرفیتی به‌طور فعال (با هدایت متابولیکی) توسط ناقلان سولفات حمل می‌شود در داخل ریشه‌ها، کروم شش ظرفیتی، بلافاصله به کروم سه ظرفیتی تبدیل می‌شود (Shanker *et al.*, 2005). همچنین در مطالعات پیشین

1- retention
2- inner-sphere

افزایش اسیدهیومیک به تنهایی موجب کاهش فاکتور انباشت شاخساره شده است (شکل ۷). با افزایش ۵ درصد و ۱۰ درصد اسیدهیومیک به خاک، این فاکتور را در تیمار شاهد از ۱/۷۱ به ترتیب به ۱/۵۲ و ۱/۲۸ رساند هر چند بین سطوح صفر و ۵ درصد اسیدهیومیک از نظر آماری تفاوت معنی دار وجود نداشت. برهمکنش کروم و اسیدهیومیک بر فاکتور انباشت شاخساره معنی دار نبود.

جدول تجزیه واریانس نشان داد کاربرد سطوح مختلف کروم موجب افزایش معنی دار در فاکتور انباشت ریشه شده است به طوری که کاربرد ۲۵ میلی گرم بر کیلوگرم کروم، این فاکتور را از ۴/۱۹ برای شاهد به ترتیب به ۱۹/۲ و ۲۱/۹ افزایش داد (جدول ۴). کاربرد سطوح ۵ درصد و ۱۰ درصد اسیدهیومیک موجب شد فاکتور انباشت ریشه از ۱۱/۷ برای شاهد به ترتیب به ۱۴/۴ و ۱۹/۲ افزایش یابد. کاربرد همزمان کروم و اسیدهیومیک نشان داد که با افزایش ۵ و ۱۰ درصد اسیدهیومیک، در تیمار ۲۵ میلی گرم کروم بر کیلوگرم، این فاکتور از ۱۴/۴ برای شاهد (Cr25HA0) به ترتیب به ۱۸/۸ و ۲۴/۳ رسید که معادل ۳۰٪ و ۶۸٪ افزایش در این فاکتور نسبت به شاهد مشاهده شد.

مقایسه انباشت زیستی شاخساره و ریشه، نشان داد فاکتور انباشت در ریشه بیشتر از انباشت زیستی شاخساره می باشد. بیشتر بودن این فاکتور در ریشه کاهو گویای این مطلب است که گیاه در مقابله با تنش کروم کارآمدی بالاتری به انباشت این عنصر در ریشه دارد تا انتقال به قسمت های خوراکی گیاه. عوامل بیوژنوشیمیایی مختلف مانند وضعیت فیزیکی خاک، حرکت عناصر کمیاب در خاک، بافت و ساختمان خاک، گونه های گیاهی و ژنوتیپ های موجود در همان گونه های گیاهی نقش مهمی در جذب عناصر سنگین در گیاهان دارند. همچنین جابجایی این عناصر در گیاهان تحت تأثیر عوامل متعددی مانند غلظت فلزات سنگین در خاک، شرایط آب و هوایی، نوع خاک و انواع مختلف سبزی ها (برگی، میوه و ریشه ای)، همچنین زمان برداشت و مرحله بلوغ می باشند. همچنین فلزات سنگین به طور قابل توجهی در سبزی های برگ دار یا ریشه ای در مقایسه با میوه انباشته شده اند (Rutigliano et al., 2019). قرشی و همکاران (Qureshi et al., 2016) بیشترین مقدار فاکتور انباشت کروم را در کاهو نسبت به گیاهان مختلف مورد بررسی مشاهده و عنوان کردند که متوسط فاکتور انباشت سبزی های برگی بیشتر از غیر برگی می باشد زیرا جذب عناصر توسط گیاه، علاوه بر مقدار آن در خاک، به نوع گیاه و خصوصیات فیزیولوژیکی گیاه بستگی دارد. کاهو توانایی انباشت غلظت های بیشتری از کادمیوم، سرب و کروم را در بافت های گیاهی نسبت به سایر سبزی های دارد. احتمالاً به دلیل داشتن سطح برگ بیشتر و در نتیجه تعرق بالاتر، انتقال یون های فلزی در کاهو با تعرق افزایش می یابد (Liu et al., 2021).

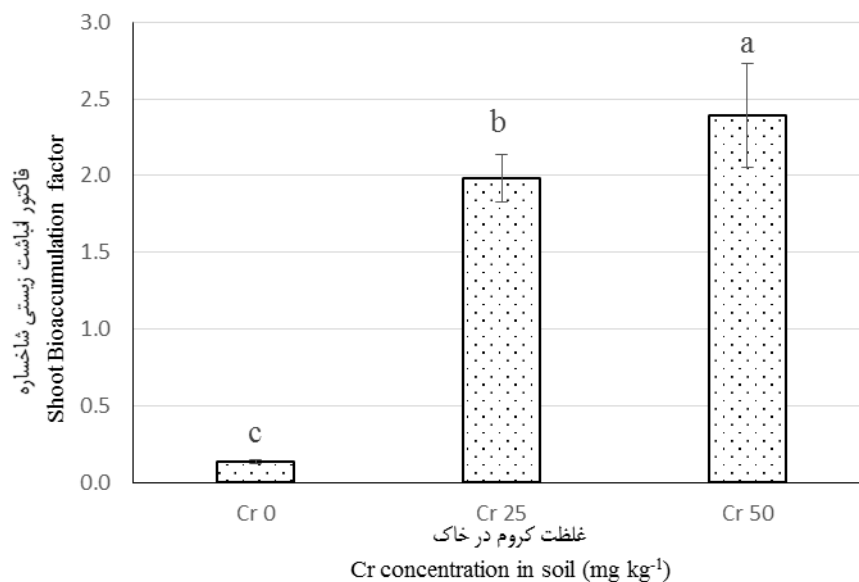
تجمع کروم در ریشه و رسوب بر روی سطح ریشه باشد که در نتیجه از انتقال فلز از ریشه به اندام هوایی جلوگیری می کند. در مطالعات پیشین ذکر شده است که پس از جذب کروم توسط ریشه ها از محلول غذایی - به شکل گونه کروم سه یا کروم شش ظرفیتی - به خوبی به جای دیگر منتقل نمی شود و تا حد زیادی در ریشه گیاهان باقی می ماند (Kalčíková et al., 2016). ممکن است بخش بندی (کده بندی) و جابجایی در سیستم آوندی، دلیل اصلی تفاوت توزیع این عنصر در بخش های مختلف گیاه باشد (Kim et al., 2003).

مقادیر زیاد TF نشان می دهد که فلزات سنگین بیشتری از ریشه به اندام هوایی منتقل شده اند، در حالی که مقادیر کم TF گویای این مطلب است که فلزات سنگین بیشتری پس از جذب گیاه در ریشه باقی مانده اند. کاهش TF به این معنی نیست که جرم فلز سنگین جذب شده توسط گیاه کاهش یافته است. این فاکتور به سادگی نسبت غلظت فلزات سنگین در اندام هوایی و ریشه را نشان می دهد (Park et al., 2013). به نظر می رسد کاربرد این اصلاح کننده آلی علاوه بر تأثیر بر غلظت کروم، بر توزیع کروم در قسمت های مختلف نیز تأثیر داشته و موجب کاهش انتقال به قسمت های خوراکی گیاه شده است.

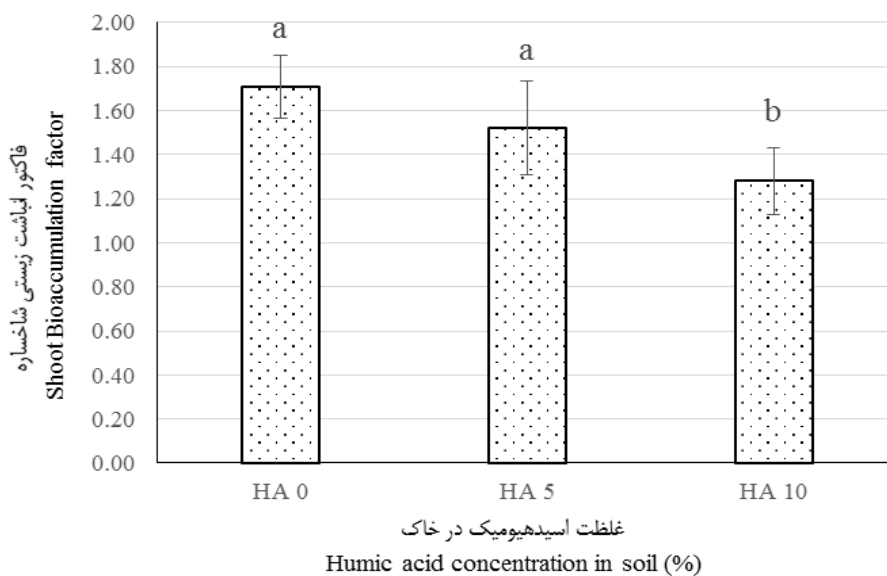
فاکتور انباشت زیستی شاخساره و ریشه

توانایی گیاهان در جذب فلزات سنگین به دلیل ظرفیت های مختلف آن ها در اتصال با ذرات خاک، همچنین به دلیل برهمکنش ریشه گیاه و فلز که ممکن است بسته به نوع فلزات متغیر باشد، متفاوت هستند. فاکتور انباشت زیستی (BAF)، شاخصی از توانایی جذب فلز خاص از خاک به ریشه و سپس انتقال به قسمت های هوایی محصولات گیاه هست و برای تخمین میزان تجمع فلزات سنگین توسط گیاهان تحت تیمارهای مختلف محاسبه شد.

افزایش سطوح کروم در خاک، موجب افزایش معنی دار انباشت زیستی شاخساره شد (شکل ۶) به طوری که با کاربرد ۲۵ و ۵۰ میلی گرم کروم بر کیلوگرم، این فاکتور از ۰/۱۳۵ (در تیمار صفر کروم) به ترتیب به ۱/۹۸ و ۲/۳۹ رسید. آلفارو و همکاران (Alfaro et al., 2022) در مقایسه گیاهان مختلف تحت تنش عناصر سنگین در خاک، بیشترین فاکتور انباشت را برای سبزی های برگی مانند پیازچه و کاهو، گزارش و عنوان کردند که تجمع و توزیع کروم در گیاه نه تنها به ویژگی های خاک و غلظت فلزات، بلکه به گونه های گیاهی نیز بستگی دارد. به عنوان مثال، تولید ترشحات ریشه، به طور عمده اسیدسیتریک و اگزالیک، می تواند با ایجاد کمپلکس با فلزات، پایداری گونه های نامحلول کروم را در خاک افزایش و در نتیجه جذب و تجمع کروم در گیاه را افزایش می دهد.



شکل ۶- تأثیر سطوح کروم بر فاکتور انباشت زیستی شاخساره در کاهو سالادی رومیرقم 'سیاهو'
 Figure 6- The effect of Cr levels on shoot bioaccumulation factor in *Lactuca sativa* L. var. longifolia (LSD, $p < 0.05$)



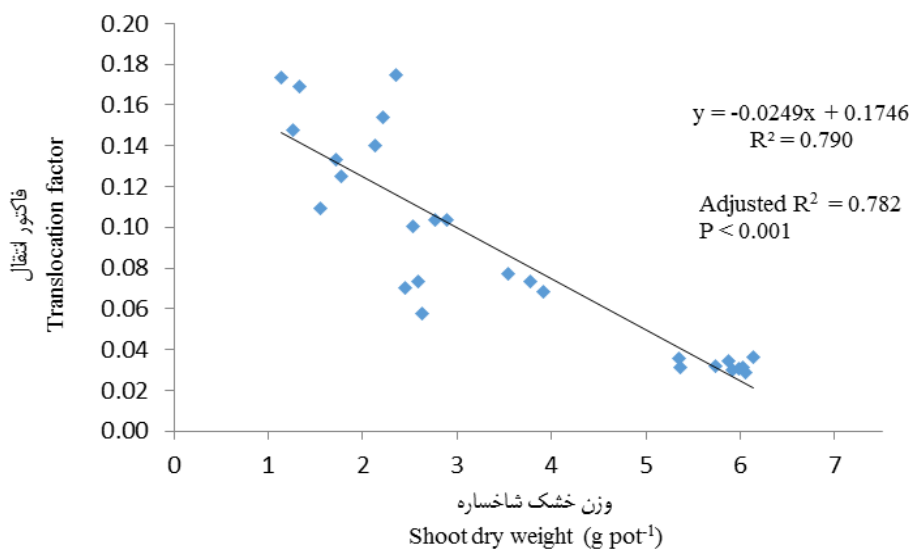
شکل ۷- تأثیر سطوح اسید هیومیک بر فاکتور انباشت زیستی شاخساره در کاهو سالادی رومیرقم 'سیاهو'
 Figure 7- The effect of humic acid levels on shoot bioaccumulation factor in *Lactuca sativa* L. var. longifolia (LSD, $p < 0.05$)

تجمع این آلاینده در قسمت‌های خوراکی و ریشه کاهو کمک می‌کنند. با افزایش وزن خشک شاخساره، فاکتور انتقال به صورت خطی و معنی‌دار کاهش یافت ($R^2 = 0.79$)، ($P < 0.001$) (شکل ۸) که نشان می‌دهد مقادیر کمتری از کروم به قسمت‌های هوایی منتقل

روابط بین وزن خشک و فاکتور انتقال و انباشت زیستی روابط بین فاکتور انتقال و انباشت زیستی کروم با مقدار زیست‌توده گیاهی به درک بهتر تأثیر کروم و ماده اصلاح‌کننده بر

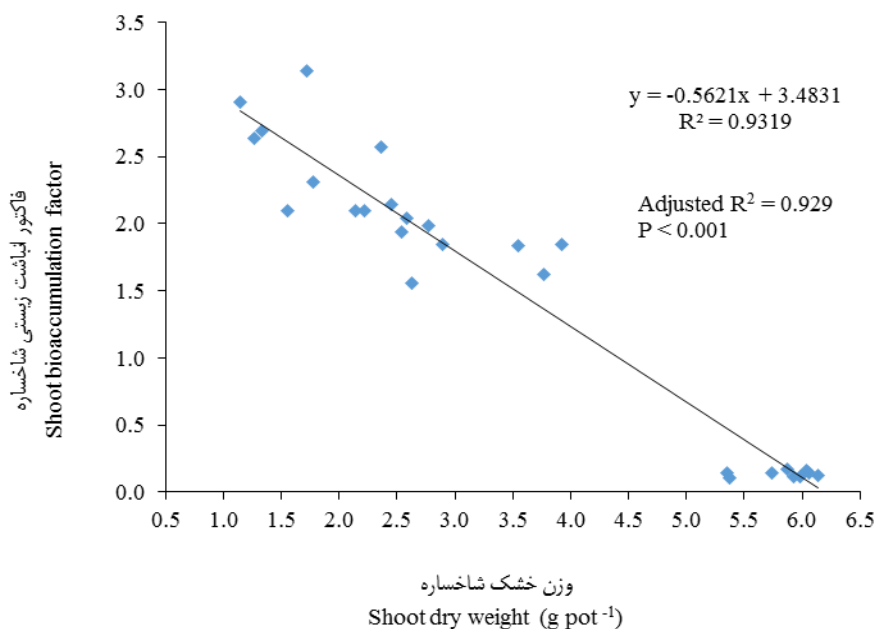
گیاه، اثرات نامطلوب بر کاهش جوانه‌زنی بذر، پارامترهای رشد گیاه، سرعت فتوسنتز و در نتیجه کاهش عملکرد گیاه مشاهده شده است (Singh et al., 2013).

شده و مقادیر بیشتر کروم در ریشه گیاه باقیمانده است. مدل برازش شده توانست ۷۹ درصد از تغییرات را تبیین و با ضریب تبیین اصلاح شده (Adjusted R²) = ۰/۷۸ - فاکتور انتقال را پیش‌بینی کند. در پژوهش‌های پیشین، در اثر غلظت بیشتر کروم در قسمت‌های هوایی



شکل ۸- رابطه بین وزن خشک شاخساره با فاکتور انتقال در کاهو سالادی رومی رقم 'سیاهو'

Figure 8- Relationship between Shoot dry weight and translocation factor for Cr in *Lactuca sativa* L. var. longifolia



شکل ۹- رابطه بین وزن خشک شاخساره با فاکتور انباشت زیستی کروم شاخساره در کاهو سالادی رومی رقم 'سیاهو'

Figure 9- Relationship between shoot dry weight and shoot bioaccumulation factor for Cr in *Lactuca sativa* L. var. longifolia

اسید هیومیک موجب افزایش غلظت کروم ریشه و فاکتور انباشت ریشه شد؛ از طرفی کاربرد ۵ و ۱۰ درصد اسید هیومیک غلظت کروم شاخساره، فاکتور انتقال و فاکتور انباشت شاخساره را کاهش داد. بیشترین تأثیر بر پارامترهای اندازه‌گیری شده در این آزمایش در بیشترین سطح اسید هیومیک (۱۰٪) مشاهده شد هر چند در موارد فاکتور انباشت شاخساره بین سطح ۰ و ۵ درصد اسید هیومیک و غلظت کروم در ریشه بین سطوح ۵ و ۱۰ درصد اسید هیومیک تفاوت معنی‌دار مشاهده نشد. مدل‌های رگرسیونی نشان دادند که وزن خشک شاخساره با فاکتور انتقال و انباشت زیستی شاخساره، رابطه خطی و کاهشی داشته و با ضریب تبیین اصلاح شده زیاد، این فاکتورها را پیش‌بینی کردند. پیامد افزودن اسید هیومیک در خاک آلوده به کروم نشان داد که با کاربرد اسید هیومیک قسمت اعظم کروم جذب شده در ریشه انباشته می‌شود که احتمالاً مربوط به مکانیسم دفاعی گیاه در برابر مقادیر بالای این آلاینده می‌باشد. بهبود رشد ریشه در اثر کاربرد اسید هیومیک نیز در افزایش رشد گیاه مؤثر می‌باشد. کاهش انتقال به اندام‌های هوایی موجب کاهش انباشت این عنصر در شاخساره - که مکان اصلی فتوسنتز می‌باشد - شده و در نتیجه موجب افزایش وزن خشک اندام هوایی و در نهایت تعدیل اثرات سوء کروم بر کاهو می‌شود. استفاده از اسید هیومیک می‌تواند روش اقتصادی و سازگار با محیط‌زیست برای کم کردن جذب این آلاینده در قسمت‌های خوراکی گیاه و در نتیجه بهبود نسبی سلامت این محصول پرمصرف باشد.

افزایش وزن خشک شاخساره، موجب کاهش فاکتور انباشت زیستی شاخساره به صورت خطی و معنی‌دار شد ($R^2 = 0/93$)، ($P < 0/001$) (شکل ۹). رگرسیون خطی وزن خشک شاخساره کاهو توانست با سطح احتمال ($P < 0/001$) ۹۳٪ از واریانس فاکتور را تبیین و آن را با ضریب تبیین اصلاح شده ($Adjusted R^2 = 0/93$) - درصد پیش‌بینی کند.

به نظر می‌رسد تقسیم‌بندی کروم در گیاهان به کنترل و مدیریت آلاینده‌ها در ریشه بستگی دارد و از اثرات مخرب این عنصر بر مکان‌های فتوسنتز، برگ‌ها و سایر فعالیت‌های متابولیکی جلوگیری می‌کند (Sinha et al., 2018) و در نتیجه کاهش انتقال کروم به شاخساره و در نهایت کاهش انباشت کروم در اندام‌های هوایی کاهو موجب افزایش فتوسنتز و در نهایت افزایش زیست‌توده می‌گردد.

نتیجه‌گیری

نتایج حاصل از این پژوهش نشان داد که سمیت کروم به‌طور قابل توجهی موجب کاهش پارامترهای رشد گیاه به‌عنوان مثال وزن خشک برگ، شاخساره، ساقه و ریشه، همچنین افزایش غلظت کروم در شاخساره و ریشه، فاکتور انتقال، فاکتور انباشت زیستی شاخساره و ریشه در مقایسه با شاهد شد. افزایش ۵ و ۱۰ درصد اسید هیومیک به خاک آلوده به کروم موجب افزایش زیست‌توده گردید. بیشترین مقدار وزن خشک در هر کدام از اجزاء گیاه با کاربرد ۱۰ درصد اسید هیومیک به دست آمد هر چند در وزن خشک ساقه بین سطوح ۵ و ۱۰ درصد اسید هیومیک اختلاف معنی‌دار مشاهده نشد. همچنین کاربرد

منابع

- AKÇİN, A., & AKÇİN, T.A. (2019). Protective effects of humic acid against chromium stress in wheat (*Triticum aestivum* L. cv. Delabrad-2). *Journal of International Environmental Application and Science*, 14(2), 50-58.
- Alashti, S.R., Bahmanyar, M.A., & Abadi, Z.A. (2013). Changes in soil physical properties and concentrations of lead and chromium in spinach affected by enriched municipal compost. *Journal of Science and Technology of Agriculture and Natural Resources*, 17(63), 1-11. (In Persian with English abstract)
- Aldmour, S.T., Burke, I.T., Bray, A.W., Baker, D.L., Ross, A.B., Gill, F.L., Cibin, G., Ries, M.E., & Stewart, D. I. (2019). Abiotic reduction of Cr(VI) by humic acids derived from peat and lignite: kinetics and removal mechanism. *Environmental Science and Pollution Research*, 26(5), 4717-4729. <https://doi.org/10.1007/s11356-018-3902-1>
- Alfaro, M.R., Ugarte, O.M., Lima, L.H.V., Silva, J.R., da Silva, F.B.V., da Silva Lins, S.A., & do Nascimento, C.W.A. (2022). Risk assessment of heavy metals in soils and edible parts of vegetables grown on sites contaminated by an abandoned steel plant in Havana. *Environmental Geochemistry and Health*, 1-14.
- Ali, S., Bharwana, S.A., Rizwan, M., Farid, M., Kanwal, S., Ali, Q., Ibrahim, M., Gill, R.A., & Khan, M.D. (2015). Fulvic acid mediates chromium (Cr) tolerance in wheat (*Triticum aestivum* L.) through lowering of Cr

- uptake and improved antioxidant defense system. *Environmental Science and Pollution Research*, 22(14), 10601–10609. <https://doi.org/10.1007/s11356-015-4271-7>
6. Banks, M.K., Schwab, A.P., & Henderson, C. (2006). Leaching and reduction of chromium in soil as affected by soil organic content and plants. *Chemosphere*, 62(2), 255-264.
 7. Bremner, J.M. (1996). *Total nitrogen*. p.1085-1122. In: D. L. Sparks *et al.* (ed.) *Methods of Soil Analysis*. Part 3, SSSA, ASA, Madison, WI.
 8. Bouyoucos, G.J. (1962). Hydrometer method improved for making particle size analyses of soils 1. *Agronomy Journal*, 54(5), 464-465. <https://doi.org/10.2134/agronj1962.00021962005400050028x>
 9. Chen, M., & Ma, L. Q. (2001). Comparison of three aqua regia digestion methods for twenty Florida soils. *Soil Science Society of America Journal*, 65(2), 491-499. <https://doi.org/10.2136/sssaj2001.652491x>
 10. Chen, S.Y., Huang, S.W., Chiang, P.N., Liu, J.C., Kuan, W.H., Huang, J.H., Hung, J.T., Tzou, Y.M., Chen, C.C., & Wang, M.K. (2011). Influence of chemical compositions and molecular weights of humic acids on Cr(VI) photo-reduction. *Journal of Hazardous Materials*, 197, 337–344. <https://doi.org/10.1016/j.jhazmat.2011.09.091>
 11. Christou, A., Georgiadou, E.C., Zissimos, A.M., Christoforou, I.C., Christofi, C., Neocleous, D., Dalias, P., & Fotopoulos, V. (2021a). Uptake of hexavalent chromium by *Lactuca sativa* and *Triticum aestivum* plants and mediated effects on their performance, linked with associated public health risks. *Chemosphere*, 267, 128912. <https://doi.org/10.1016/j.chemosphere.2020.128912>
 12. Christou, A., Georgiadou, E.C., Zissimos, A.M., Christoforou, I.C., Christofi, C., Neocleous, D., Dalias, P., Ioannou, A., & Fotopoulos, V. (2021b). Uptake of hexavalent chromium by tomato (*Solanum lycopersicum* L.) plants and mediated effects on their physiology and productivity, along with fruit quality and safety. *Environmental and Experimental Botany*, 189, 104564. <https://doi.org/10.1016/j.envexpbot.2021.104564>
 13. Dhal, B., Thatoi, H.N., Das, N.N., & Pandey, B.D. (2013). Chemical and microbial remediation of hexavalent chromium from contaminated soil and mining/metallurgical solid waste: A review. *Journal of Hazardous Materials*, 250–251, 272–291. <https://doi.org/10.1016/j.jhazmat.2013.01.048>
 14. Dias, M.C., Moutinho-Pereira, J., Correia, C., Monteiro, C., Araújo, M., Brüggemann, W., & Santos, C. (2016). Physiological mechanisms to cope with Cr(VI) toxicity in lettuce: can lettuce be used in Cr phytoremediation? *Environmental Science and Pollution Research*, 23(15), 15627–15637. <https://doi.org/10.1007/s11356-016-6735-9>
 15. Ertani, A., Mietto, A., Borin, M., & Nardi, S. (2017). Chromium in Agricultural Soils and Crops: A Review. *Water, Air, and Soil Pollution*, 228(5). <https://doi.org/10.1007/s11270-017-3356-y>
 16. Sauerbeck, D.R. (1991). Plant element and soil properties governing uptake and availability of heavy metals derived from sewage sludge. *Water, Air, and Soil Pollution*, 57, 227-237.
 17. Gill, R.A., Zang, L., Ali, B., Farooq, M.A., Cui, P., Yang, S., Ali, S., & Zhou, W. (2015). Chromium-induced physio-chemical and ultrastructural changes in four cultivars of *Brassica napus* L. *Chemosphere*, 120, 154–164. <https://doi.org/10.1016/j.chemosphere.2014.06.029>
 18. Huang, S.W., Chiang, P.N., Liu, J.C., Hung, J.T., Kuan, W.H., Tzou, Y.M., Wang, S.L., Huang, J.H., Chen, C.C., Wang, M.K., & Loeppert, R.H. (2012). Chromate reduction on humic acid derived from a peat soil - Exploration of the activated sites on HAs for chromate removal. *Chemosphere*, 87(6), 587–594. <https://doi.org/10.1016/j.chemosphere.2012.01.010>
 19. Hou, J., Liu, G.N., Xue, W., Fu, W.J., Liang, B.C., & Liu, X.H. (2014). Seed germination, root elongation, root-tip mitosis, and micronucleus induction of five crop plants exposed to chromium in fluvo-aquic soil. *Environmental Toxicology and Chemistry*, 33(3), 671-676. <https://doi.org/10.1002/etc.2489>
 20. Jahanbakhshi, S., Rezaei, M.R., & Sayyari-Zahan, M.H. (2014). Study of phytoremediation of soil contaminated by cadmium and chromium and their bio-accumulation in spinach plant (*Spinacia oleracea*). *Journal of Natural Environment*, 66(3). (In Persian with English abstract)
 21. Janoš, P., Hůla, V., Bradnová, P., Pilařová, V., & Šedlbauer, J. (2009). Reduction and immobilization of hexavalent chromium with coal- and humate-based sorbents. *Chemosphere*, 75(6), 732–738. <https://doi.org/10.1016/j.chemosphere.2009.01.037>
 22. Kalčíková, G., Zupančič, M., Jemec, A., & Žgajnar Gotvajn, A. (2016). The impact of humic acid on chromium phytoextraction by aquatic macrophyte *Lemna minor*. *Chemosphere*, 147, 311–317. <https://doi.org/10.1016/j.chemosphere.2015.12.090>
 23. Kim, I.S., Kang, K.H., Johnson-Green, P., & Lee, E.J. (2003). Investigation of heavy metal accumulation in *Polygonum thunbergii* for phytoextraction. *Environmental Pollution*, 126(2), 235-243.
 24. Li, Y., Wang, W., Zhou, L., Liu, Y., Mirza, Z.A., & Lin, X. (2017). Remediation of hexavalent chromium spiked soil by using synthesized iron sulfide particles. *Chemosphere*, 169, 131–138. <https://doi.org/10.1016/j.chemosphere.2016.11.060>

25. Liu, X., Gu, S., Yang, S., Deng, J., & Xu, J. (2021). Heavy metals in soil-vegetable system around E-waste site and the health risk assessment. *Science of the Total Environment*, 779, 146438. <https://doi.org/10.1016/j.scitotenv.2021.146438>
26. Loeppert, R.H., & Suarez, D.L. (1996). Carbonate and gypsum. *Methods of soil analysis: Part 3 chemical methods*, 5, 437-474
27. Ma, J., Lv, C., Xu, M., Chen, G., Lv, C., & Gao, Z. (2016). Photosynthesis performance, antioxidant enzymes, and ultrastructural analyses of rice seedlings under chromium stress. *Environmental Science and Pollution Research*, 23(2), 1768–1778. <https://doi.org/10.1007/s11356-015-5439-x>
28. Oliveira, H. (2012). Chromium as an environmental pollutant: insights on induced plant toxicity. *Journal of Botany*, 2012, 1–8. <https://doi.org/10.1155/2012/375843>
29. Quevauviller, P., Lachica, M., Barahona, E., Gomez, A., Rauret, G., Ure, A., & Muntau, H. (1998). Certified reference material for the quality control of EDTA-and DTPA-extractable trace metal contents in calcareous soil (CRM 600). *Fresenius' Journal of Analytical Chemistry*, 360, 505-511.
30. Qureshi, A.S., Hussain, M.I., Ismail, S., & Khan, Q.M. (2016). Evaluating heavy metal accumulation and potential health risks in vegetables irrigated with treated wastewater. *Chemosphere*, 163, 54-61.
31. Park, J.H. (2020). Contrasting effects of Cr (III) and Cr (VI) on lettuce grown in hydroponics and soil: Chromium and manganese speciation. *Environmental Pollution*, 266, 115073.
32. Raptis, S., Gasparatos, D., Economou-Eliopoulos, M., & Petridis, A. (2018). Chromium uptake by lettuce as affected by the application of organic matter and Cr(VI)-irrigation water: Implications to the land use and water management. *Chemosphere*, 210(Vi), 597–606. <https://doi.org/10.1016/j.chemosphere.2018.07.046>
33. Riaz, M., Yasmeen, T., Arif, M.S., Ashraf, M.A., Hussain, Q., Shahzad, S.M., Rizwan, M., Mehmood, M.W., Zia, A., Mian, I.A., & Fahad, S. (2019). Variations in morphological and physiological traits of wheat regulated by chromium species in long-term tannery effluent irrigated soils. *Chemosphere*, 222, 891–903. <https://doi.org/10.1016/j.chemosphere.2019.01.170>
34. Richards, L.A. (Ed.). (1954). *Diagnosis and improvement of saline and alkali soils* (No. 60). US Government Printing Office.
35. Rutigliano, F.A., Marzaioli, R., De Crescenzo, S., & Trifuoggi, M. (2019). Human health risk from consumption of two common crops grown in polluted soils. *Science of the Total Environment*, 691, 195–204. <https://doi.org/10.1016/j.scitotenv.2019.07.037>
36. Saha, R., Nandi, R., & Saha, B. (2011). Sources and toxicity of hexavalent chromium. *Journal of Coordination Chemistry*, 64(10), 1782–1806. <https://doi.org/10.1080/00958972.2011.583646>
37. Sauerbeck, D.R. (1991). Plant element and soil properties governing uptake and availability of heavy metals derived from sewage sludge. *Water, Air, and Soil Pollution*, 57, 227-237.
38. Shahid, M., Shamshad, S., Rafiq, M., Khalid, S., Bibi, I., Niazi, N.K., Dumat, C., & Rashid, M.I. (2017). Chromium speciation, bioavailability, uptake, toxicity and detoxification in soil-plant system: A review. *Chemosphere*, 178, 513–533. <https://doi.org/10.1016/j.chemosphere.2017.03.074>
39. Shaker, M.A., & Albishri, H.M. (2014). Dynamics and thermodynamics of toxic metals adsorption onto soil-extracted humic acid. *Chemosphere*, 111, 587–595. <https://doi.org/10.1016/j.chemosphere.2014.04.088>
40. Shanker, A.K., Cervantes, C., Loza-Tavera, H., & Avudainayagam, S. (2005). Chromium toxicity in plants. *Environment International*, 31(5), 739–753. <https://doi.org/10.1016/j.envint.2005.02.003>
41. Singh, H.P., Mahajan, P., Kaur, S., Batish, D.R., & Kohli, R.K. (2013). Chromium toxicity and tolerance in plants. *Environmental Chemistry Letters*, 11(3), 229–254. <https://doi.org/10.1007/s10311-013-0407-5>
42. Sinha, V., Pakshirajan, K., & Chaturvedi, R. (2018). Chromium tolerance, bioaccumulation and localization in plants: An overview. *Journal of Environmental Management*, 206, 715–730. <https://doi.org/10.1016/j.jenvman.2017.10.033>
43. Tüfenkçi, Ş., Türkmen, Ö., Sönmez, F., Erdinç, Ç., & Şensoy, S. (2006). Effects of humic acid doses and application times on the plant growth, nutrient and heavy metal contents of lettuce grown on sewage sludge-applied soils. *Fresenius Environmental Bulletin*, 15(4), 295–300.
44. Valdrighi, M.M., Pera, A., Agnolucci, M., Frassinetti, S., Lunardi, D., & Vallini, G. (1996). Effects of compost-derived humic acids on vegetable biomass production and microbial growth within a plant (*Cichorium intybus*)-soil system: A comparative study. *Agriculture, Ecosystems and Environment*, 58(2–3), 133–144. [https://doi.org/10.1016/0167-8809\(96\)01031-6](https://doi.org/10.1016/0167-8809(96)01031-6)
45. Wakeel, A., & Xu, M. (2020). Chromium morpho-phytotoxicity. *Plants*, 9(5), 564. <https://doi.org/10.3390/plants9050564>
46. Walkley, A., & Black, I.A. (1934). An examination of the Degtjareff method for determining soil organic matter, and a proposed modification of the chromic acid titration method. *Soil Science*, 37(1), 29-38.

47. Wang, C., Gu, L., Ge, S., Liu, X., Zhang, X., & Chen, X. (2019). Remediation potential of immobilized bacterial consortium with biochar as carrier in pyrene-Cr (VI) co-contaminated soil. *Environmental Technology*, 40(18), 2345-2353. <https://doi.org/10.1080/09593330.2018.1441328>
48. Wu, M., Li, G., Jiang, X., Xiao, Q., Niu, M., Wang, Z., & Wang, Y. (2017). Non-biological reduction of Cr(VI) by reacting with humic acids composted from cattle manure. *RSC Advances*, 7(43), 26903–26911. <https://doi.org/10.1039/c6ra28253a>
49. Yang, Z., Zhang, X., Jiang, Z., Li, Q., Huang, P., Zheng, C., Liao, Q., & Yang, W. (2021). Reductive materials for remediation of hexavalent chromium contaminated soil – A review. *Science of the Total Environment*, 773. <https://doi.org/10.1016/j.scitotenv.2021.145654>
50. Zhang, J., Yin, H., Wang, H., Xu, L., Samuel, B., Chang, J., Liu, F., & Chen, H. (2019). Molecular structure-reactivity correlations of humic acid and humin fractions from a typical black soil for hexavalent chromium reduction. *Science of the Total Environment*, 651, 2975–2984. <https://doi.org/10.1016/j.scitotenv.2018.10.165>
51. Zhao, Y., Hu, C., Wang, X., Qing, X., Wang, P., Zhang, Y., Zhang, X., & Zhao, X. (2019). Selenium alleviated chromium stress in Chinese cabbage (*Brassica campestris* L. ssp. *Pekinensis*) by regulating root morphology and metal element uptake. *Ecotoxicology and Environmental Safety*, 173, 314–321. <https://doi.org/10.1016/j.ecoenv.2019.01.090>